

AKCIA PLATNÁ OD 1.10. - 31.12.2019

DORMER PRAMET

10 DOŠTIČIEK
DO LÔŽKA
FRÉZY
=
FRÉZA ZA
1€

Kúp 10 doštičiek do lôžka frézy a teleso frézy dostaneš len za 1 EUR !

PREKROČTE LIMITY FRÉZOVANIA

Naše rady ADMX, BNGX, HNGX
a LNGX Vám s tým pomôžu.



ADMX



- ↳ Široká oblasť použitia
- ↳ Vysoká produktivita
- ↳ Malé rezné sily



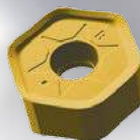
BNGX



- ↳ Vysoké rýchlosti posuvu
- ↳ Ekonomické so 4 reznými hranami
- ↳ Prvá voľba pri kopírovaní



HNGX



- ↳ Ekonomické obojstranné s 12 reznými hranami
- ↳ Vhodné na väčšinu pracovných podmienok
- ↳ Kvalitná povrchová úprava



LNGX



- ↳ Ekonomické so 4 reznými hranami
- ↳ Kvalitná povrchová úprava
- ↳ Rôzne frézovacie materiály



Platné od 1. 10. 2019 do 31. 12. 2019.

Viac informácií získate od miestneho predajcu

Prekročte limity frézovania

Počas posledných troch mesiacov roku 2019 ponúkame zákazníkom príležitosť výrazne ušetriť náklady na frézovanie.

Každý, kto si kúpi našu frézovaciú doštičku (ADMX, BNGX, HNGX a LNGX), si bude môcť kúpiť frézu za jedno EURO. Všetko, čo musíte urobiť, aby ste získali zľavu na nástroje, je objednať si desať doštičiek do každého lôžka frézy.

Platnosť kampane:

Začiatok: 1. 10. 2019.

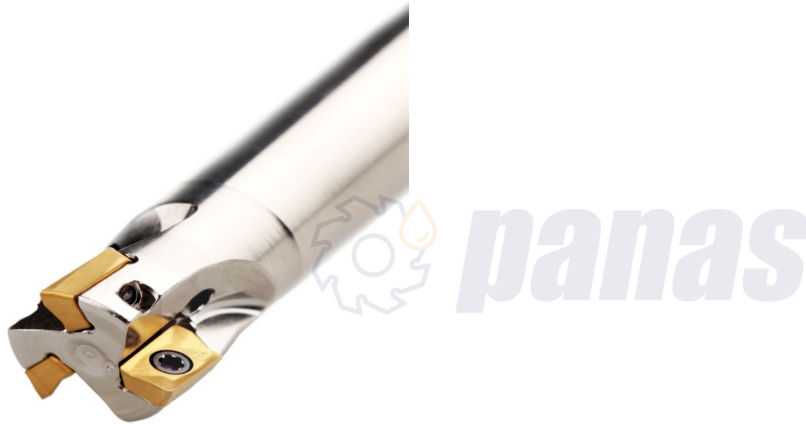
Koniec: 31. 12. 2019.

Ďalšie podrobnosti získate u miestneho predajcu Dormer Pramet. Ďalšie informácie o našom sortimente doštičkových fréz nájdete v prehľade akčných radov uvedenom nižšie:

Force AD s doštičkami ADMX a ADEX

Univerzálna 90° fréza na široké spektrum aplikácií.

Prehľad:



- Doštičky ADMX a ADEX 07, 11 a 16.
- Vnútorňý prívod procesných kvapalín.
- Axiálne podopretie doštičiek na špirálových frézach.

Prednosti:

- Kvalitná povrchová úprava.
- Vysoká produktivita.
- Malé rezné sily.
- Široká oblasť použitia.
- Dobrá kombinácia výkonu a životnosti nástroja.
- Vysoko pozitívna geometria na nižší výkon stroja.
- Tvar reznej hrany znamená vyššiu odolnosť voči nárazu a plynulé obrábanie.
- Špeciálne tvarovaná drážka na ľahké a rýchle odstraňovanie triesok.

SBN10 s doštičkami BNGX a ANHX na frézovanie s vysokými posuvmi

Univerzálny rad fréz s frézovacími doštičkami určenými na vysoké posuvy so štyrmi reznými hranami na dosiahnutie produktívneho obrábania rôznych materiálov.



Prehľad:

- Kompletná ponuka nástrojárskeho aplikácií – jedna fréza umožňuje obrábanie od hrubovania, až po dokončovanie.
- Doštička BNGX10 na hrubovanie s vysokými posuvmi.
- ANHX10 na dokončovacie operácie.
- Široký sortiment priemerov (16 – 42 mm) a typov fréz (stopkové, modulárne a valcové frézy).
- Vhodná na kopírovacie frézovanie, zachádzanie pod uhlom, kruhovú interpoláciu, postupné zavrtávanie. Tiež na čelné frézovanie a frézovanie do rohu.

Prednosti

- Vysoké rýchlosti posuvu s axiálnou hĺbkou rezu do 1 mm.
- Univerzálne frézy s rôznymi doštičkami.
- Ekonomické doštičky so štyrmi reznými hranami.
- Vyšší uhol zachádzania na zlepšenie odvádzania triesok.
- Vhodná na nestabilné zaberové podmienky a veľké prídavky.
- K dispozícii s tromi geometriami na rôzne materiály.
- Unikátny dizajn lôžka pre ľahší rez.
- Špeciálna vďaka dizajnu na chladiacu kvapalinu, ktorý smeruje mazanie bližšie k rezným hranám.

Econ HN s doštičkami HNGX a XNGX

45° čelná fréza s vymeniteľnými doštičkami.

Prehľad:



- Doštičky HNGX 06, 09 a doštičky XNGX 06, 09.
- Navrhnutá na vytváranie vylepšenej povrchovej úpravy.
- Doštičky s 12 reznými hranami.
- Diferenciálna zubová medzera.
- S vnútorným prívodom procesných kvapalín.
- Neutrálny dizajn na rotáciu doľava a doprava.
- Unikátna geometria doštičiek F, M, R na každú operáciu (od dokončovania až po hrubovanie).
- K dispozícii chladiace doštičky.

Prednosti:

- Kvalitná povrchová úprava.
- Malé rezné sily.
- Široká oblasť použitia.
- Vysoká presnosť nástroja.
- Tichý chod.



Econ LN s doštičkami LNGX 12 a LNGU 12

Univerzálna 90° fréza na široké spektrum aplikácií.

Prehľad:

- Doštičky LNGX 12 a LNGU 12 so štyrmi reznými hranami.
- Ideálna na obrábanie ocele a liatiny.
- Vhodná na hrubovanie až po dokončovacie aplikácie.
- Viacúčelová fréza, umožňuje rovinné frézovanie, frézovanie osadení a zapichovanie.
- Doštičky LNGX 12 podporujú špirálovú interpoláciu, zachádzanie pod uhlom a postupné zavrtávanie.

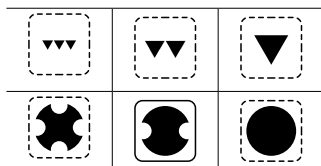
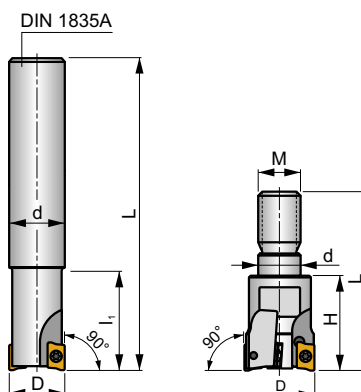
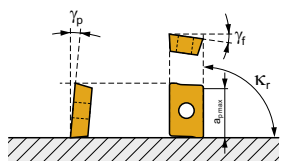
Prednosti:

- Veľmi dobrá povrchová úprava.
- Úsporné frézy s viacerými reznými hranami.
- Vnútorný chladiaci systém v blízkosti rezných hrán na jednoduchý odvod triesok.
- Robustný skrutkový systém na bezpečné upínanie.
- Kompatibilná so širokou škálou telies fréz.
- Pozitívny axiálny uhol doštičiek znižuje rezné sily a zvyšuje spoľahlivosť obrábania.

SAD07D



K_r	90°
a_{pmax}	5,0 mm



ISO	D	L	d	l ₁	H	M	γ_f°	γ_p°			max.		kg		
10A2R016A08-SAD07D-C	10	100	8	16	-	-	-12	+8	2	-	61600	✓	0,07	GI276	SQ010
10A2R016A10-SAD07D-C	10	80	10	16	-	-	-12	+8	2	-	61600	✓	0,07	GI276	SQ010
10A2R018A08-SAD07D-CF	10	100	8	18	-	-	-12	+8	2	-	61600	✓	0,03	GI276	SQ010
10A2R018A10-SAD07D-CF	10	80	10	18	-	-	-12	+8	2	-	61600	✓	0,04	GI276	SQ010
12A2R018A10-SAD07D-C	12	120	10	18	-	-	-10	+8	2	-	56300	✓	0,09	GI276	SQ010
12A2R018A12-SAD07D-C	12	90	12	18	-	-	-10	+8	2	-	56300	✓	0,10	GI276	SQ010
12A3R018A12-SAD07D-C	12	90	12	18	-	-	-10	+8	3	-	56200	✓	0,10	GI276	SQ010
12A3R020A12-SAD07D-CF	12	90	12	20	-	-	-10	+8	3	-	56200	✓	0,07	GI276	SQ010
14A3R018A12-SAD07D-C	14	140	12	18	-	-	-9	+8	3	-	52100	✓	0,15	GI276	SQ010
14A3R018A14-SAD07D-C	14	90	14	18	-	-	-9	+8	3	-	52100	✓	0,12	GI276	SQ010
14A3R020A12-SAD07D-CF	14	140	12	20	-	-	-9	+8	3	-	52100	✓	0,10	GI276	SQ010
14A3R020A14-SAD07D-CF	14	90	14	20	-	-	-9	+8	3	-	52100	✓	0,09	GI276	SQ010
16A3R019A14-SAD07D-C	16	160	14	19	-	-	-8	+8	3	-	48700	✓	0,21	GI276	SQ011
16A3R019A16-SAD07D-C	16	110	16	19	-	-	-8	+8	3	-	48700	✓	0,18	GI276	SQ011
16A4R019A16-SAD07D-C	16	110	16	19	-	-	-8	+8	4	-	48700	✓	0,18	GI276	SQ011
18A4R019A16-SAD07D-C	18	180	16	19	-	-	-7,5	+8	4	✓	45900	✓	0,29	GI276	SQ011
18A4R019A18-SAD07D-C	18	110	18	19	-	-	-7,5	+8	4	✓	45900	✓	0,22	GI276	SQ011
20A4R020A18-SAD07D-C	20	200	18	20	-	-	-7	+8	4	✓	43600	✓	0,38	GI276	SQ011
20A4R020A20-SAD07D-C	20	125	20	20	-	-	-7	+8	4	✓	43600	✓	0,30	GI276	SQ011
20A5R020A20-SAD07D-C	20	125	20	20	-	-	-7	+8	5	✓	43600	✓	0,30	GI276	SQ011
25A5R024A25-SAD07D-C	25	140	25	24	-	-	-6,5	+8	5	✓	39000	✓	0,52	GI276	SQ011
25A6R024A25-SAD07D-C	25	140	25	24	-	-	-6,5	+8	6	✓	39000	✓	0,52	GI276	SQ011
12A2R020M06-SAD07D-C	12	35	6,5	-	20	M6	-10	+8	2	-	-	✓	0,05	GI276	SQ010
14A3R020M08-SAD07D-C	14	38	8,5	-	20	M8	-9	+8	3	-	-	✓	0,05	GI276	SQ010
14A3R023M08-SAD07D-CF	14	41	8,5	-	23	M8	-9	+8	3	-	-	✓	0,02	GI276	SQ010
16A4R023M08-SAD07D-C	16	41	8,5	-	23	M8	-8	+8	4	✓	-	✓	0,06	GI276	SQ011
20A5R030M10-SAD07D-C	20	49	10,5	-	30	M10	-7	+8	5	✓	-	✓	0,09	GI276	SQ011
25A6R035M12-SAD07D-C	25	57	12,5	-	35	M12	-6,5	+8	6	✓	-	✓	0,13	GI276	SQ011
32A8R043M16-SAD07D-C	32	66	17	-	43	M16	-6	+8	8	✓	-	✓	0,25	GI276	SQ011



GI276

ADMX 0702..



SQ010

US 62003A-T06P

0,6

M 2

3

Flag T06P

SQ011

US 62004A-T06P

0,6

M 2

4

Flag T06P

ADMX 07



d

d₁

l

s

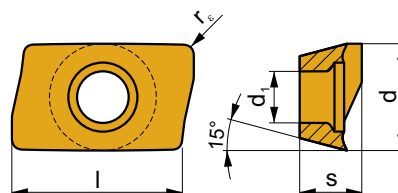
0702

4,482

2,20

6,95

2,48



ISO



P

M

K

N

S

H



r_ε

f_{min}

f_{max}

a_{p min}

a_{p max}

ADMX 070202SR-M

M8330

■

■

■

□

●

-

0,2

0,03

0,12

0,1

5,0

M8340

■

■

■

■

●

+/-

0,2

0,03

0,12

0,1

5,0

8215

■

■

■

■

●

-

0,2

0,03

0,12

0,1

5,0

ADMX 070204SR-M

M8330

■

■

■

□

●

-

0,4

0,03

0,12

0,1

5,0

M9340

■

■

■

■

●

0,4

0,03

0,10

0,1

5,0

M6330

■

■

■

■

●

-

0,4

0,03

0,12

0,1

5,0

M8310

■

■

■

■

●

-

0,4

0,03

0,12

0,1

5,0

M8340

■

■

■

■

●

+/-

0,4

0,03

0,12

0,1

5,0

8215

■

■

■

■

●

-

0,4

0,03

0,12

0,1

5,0

8230

■

■

■

■

●

-

0,4

0,03

0,12

0,1

5,0

ADMX 070208SR-M

M9340

■

■

■

■

●

0,8

0,03

0,10

0,1

5,0

M6330

■

■

■

■

●

-

0,8

0,03

0,12

0,1

5,0

M8330

■

■

■

□

●

-

0,8

0,03

0,12

0,1

5,0

M8310

■

■

■

■

●

-

0,8

0,03

0,12

0,1

5,0

M8340

■

■

■

■

●

+/-

0,8

0,03

0,12

0,1

5,0

8215

■

■

■

■

●

-

0,8

0,03

0,12

0,1

5,0

8230

■

■

■

■

●

-

0,8

0,03

0,12

0,1

5,0

ADMX 070220SR-M

M6330

■

■

■

■

✱

-

2,0

0,03

0,12

0,1

5,0

M8310

■

■

■

■

●

-

2,0

0,03

0,12

0,1

5,0

M8330

■

■

■

□

✱

-

2,0

0,03

0,12

0,1

5,0

M8340

■

■

■

■

✱

+/-

2,0

0,03

0,12

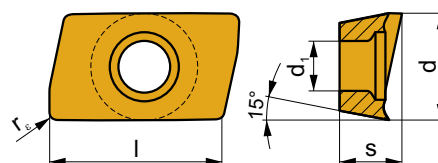
0,1

5,0



ADEX 07-FA

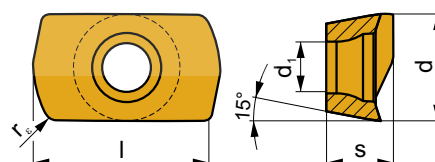
	d	d ₁	l	s
0702	4,497	2,20	6,95	2,48



i	ISO	Material	ISO					Surface	Coating	r _e	f _{min}	f _{max}	a _{p min}	a _{p max}
			P	M	K	N	S							
	ADEX 070204FR-FA	M0315				■		●	++	0,4	0,03	0,20	0,1	5,0
		HF7				■		●	+/-	0,4	0,03	0,20	0,1	5,0
	ADEX 070208FR-FA	HF7				■		●	+/-	0,8	0,03	0,20	0,1	5,0

ADEX 07-HF

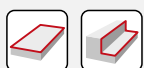
	d	d ₁	l	s
0702	4,439	2,20	6,45	2,48



i	ISO	Material	ISO					Surface	Coating	r _e	f _{min}	f _{max}	a _{p min}	a _{p max}	
			P	M	K	N	S								H
	ADEX 070206SR-HF	M6330	▣	■			▣	●	-	0,6	0,20	0,90	0,1	0,3	
		M8330	■	▣	□		□	□	●	-	0,6	0,20	0,90	0,1	0,3
		M8340	■	■	□		▣		●	+/-	0,6	0,20	0,90	0,1	0,3

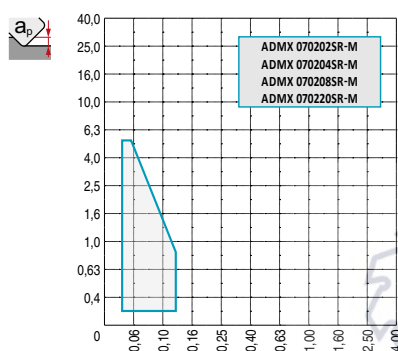
ISO		f_{\min}	f_{\max}	M9340	M6330	M8310	M8330	M8340	8215	8230	HF7	M0315
P	●	0,03	0,12	276	255	292	278	260	276	264	-	-
	◐	0,03	0,08	248	225	264	244	225	244	236	-	-
	✘	0,03	0,05	220	200	236	216	195	216	204	-	-
M	●	0,03	0,12	164	165	148	162	155	164	156	-	-
	◐	0,03	0,08	148	145	132	144	135	148	140	-	-
	✘	0,03	0,05	132	125	120	126	115	128	124	-	-
K	●	0,03	0,12	-	-	276	264	240	260	252	-	-
	◐	0,03	0,08	-	-	252	238	215	232	224	-	-
	✘	0,03	0,05	-	-	224	210	185	204	196	-	-
N	●	0,03	0,20		-		-	-			306	684
	◐	0,03	0,16		-		-	-			275	612
	✘	0,03	0,12		-		-	-			239	536
S	●	0,03	0,12	80	84	72		72	80	76		
	◐	0,03	0,08	72	72	64		64	72	68		
	✘	0,03	0,05	64	64	60		56	64	60		
H	●	0,03	0,12		80		78	75			-	-
	◐	0,03	0,08		70		70	65			-	-
	✘	0,03	0,05		60		62	55			-	-

HFC		f_{\min}	f_{\max}	M8330	M8340	M6330
P	●	0,20	0,90	265	250	235
	◐	0,20	0,70	235	220	210
	✘	0,20	0,50	205	190	180
M	●	0,20	0,90	160	150	165
	◐	0,20	0,70	140	130	145
	✘	0,20	0,50	125	115	127
K	●	0,20	0,90	250	235	-
	◐	0,20	0,70	220	205	-
	✘	0,20	0,50	190	180	-
S	●	0,20	0,70	70	65	73
	◐	0,20	0,60	60	55	65
	✘	0,20	0,50	55	50	56
H	●	0,10	0,20	52	-	-
	◐	0,10	0,20	42	-	-
	✘	0,10	0,20	40	-	-



$\frac{a_e}{D}$	0,05	0,10	0,15	0,20	0,25	0,30	0,40	0,50	0,60	0,70	0,75	0,80	0,90	1,00
$\times.v$	1,48	1,35	1,27	1,22	1,19	1,16	1,11	1,08	1,05	1,03	1,00	1,00	1,00	1,00
$\rightarrow x.f$	2,87	2,05	1,69	1,48	1,33	1,23	1,09	0,75	0,94	0,90	0,89	0,88	0,88	1,00
$\rightarrow x.f$	0,64	0,64	0,64	0,64	0,64	0,65	0,65	0,67	0,68	0,71	0,72	0,74	0,79	1,00

	ADMX 07-M			
r_ε	0,2	0,4	0,8	2,0
$a/$	1,38	0,89	0,54	0,33



max.	3,9
------	-----



a_p	1,0	3,0	5,0
$\rightarrow f$	0,13	0,08	0,05



D	α_{max}°	a_p/l
10	5,2	5,0/56
12	3,4	5,0/86
14	2,5	4,2/100
16	1,9	3,2/100
18	1,7	2,8/100
20	1,5	2,5/100
25	1,1	1,8/100
32	0,8	1,2/100



D	d_{min}	d_{max}	$d_{min}^{S_{max}}$	$d_{max}^{S_{max}}$
10	12,0	20,0	0,5	2,8
12	16,0	24,0	0,7	2,2
14	20,0	28,0	0,8	1,9
16	24,0	32,0	0,8	1,6
18	28,0	36,0	0,9	1,6
20	32,0	40,0	0,9	1,6
25	42,0	50,0	1,0	1,5
32	56,0	64,0	1,0	1,4



a_p/l
0,9



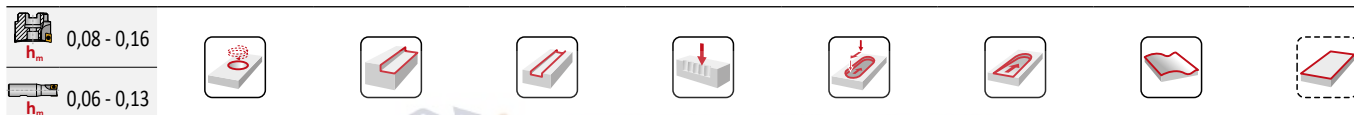
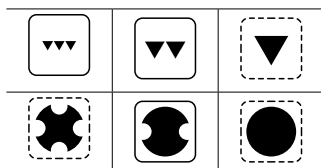
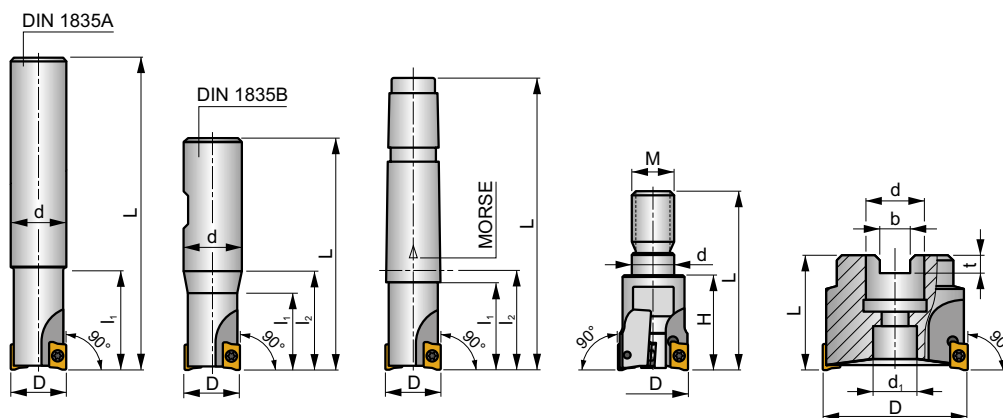
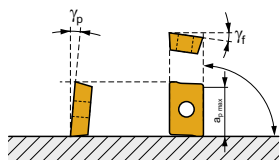
D	μm	3	5	10	15	20	30	40	50	60	80	100
10		0,346	0,447	0,632	0,775	0,894	1,095	1,265	1,414	1,549	1,789	2,000
12		0,379	0,490	0,693	0,849	0,980	1,200	1,386	1,549	1,697	1,960	2,191
14		0,410	0,529	0,748	0,917	1,058	1,296	1,497	1,673	1,833	2,117	2,366
16		0,438	0,566	0,800	0,980	1,131	1,386	1,600	1,789	1,960	2,263	2,530
18		0,465	0,600	0,849	1,039	1,200	1,470	1,697	1,897	2,078	2,400	2,683
20		0,490	0,632	0,894	1,095	1,265	1,549	1,789	2,000	2,191	2,530	2,828
25		0,548	0,707	1,000	1,225	1,414	1,732	2,000	2,236	2,449	2,828	3,162
32		0,620	0,800	1,131	1,386	1,600	1,960	2,263	2,530	2,771	3,200	3,578

SAD11E

P M K N S H



κ_r	90°
a_{pmax}	9,0 mm



ISO	D	L	d	d ₁	l ₁	l ₂	H	M	γ_p°	γ_f°	Morse			max.		kg			
16A2R024A14-SAD11E-C	16	160	14	-	24	-	-	-	-12,8	+4	-	2	-	30100	✓	0,21	GI169	SQ025	-
16A2R024A16-SAD11E-C	16	135	16	-	24	-	-	-	-12,8	+4	-	2	-	30100	✓	0,09	GI169	SQ025	-
16A2R050A16-SAD11E-C	16	135	16	-	50	-	-	-	-12,8	+4	-	2	-	30100	✓	0,21	GI169	SQ025	-
18A2R029A20-SAD11E-C	18	150	20	-	29	-	-	-	-12	+4,5	-	2	-	28400	✓	0,35	GI169	SQ025	-
20A2R029A20-SAD11E-C	20	150	20	-	29	-	-	-	-11,5	+5	-	2	-	27000	✓	0,13	GI169	SQ020	-
20A2R070A20-SAD11E-C	20	150	20	-	70	-	-	-	-11,5	+5	-	2	-	27000	✓	0,32	GI169	SQ020	-
20A3R029A18-SAD11E-C	20	200	18	-	29	-	-	-	-11,5	+5	-	3	-	27000	✓	0,38	GI169	SQ025	-
20A3R029A20-SAD11E-C	20	150	20	-	29	-	-	-	-11,5	+5	-	3	-	27000	✓	0,13	GI169	SQ025	-
22A3R029A20-SAD11E-C	22	200	20	-	29	-	-	-	-11,5	+5	-	3	-	25600	✓	0,49	GI169	SQ025	-
25A3R034A25-SAD11E-C	25	170	25	-	34	-	-	-	-10,2	+5	-	3	-	24100	✓	0,42	GI169	SQ020	-
25A3R080A25-SAD11E-C	25	170	25	-	80	-	-	-	-10,2	+5	-	3	-	24100	✓	0,55	GI169	SQ020	-
25A4R034A25-SAD11E-C	25	170	25	-	34	-	-	-	-10,2	+5	-	4	-	24100	✓	0,42	GI169	SQ025	-
25A4R040A25-SAD11E-C	25	250	25	-	40	-	-	-	-10,2	+5	-	4	-	24100	✓	0,86	GI169	SQ025	-
30A3R080A32-SAD11E-C	30	200	32	-	80	-	-	-	-9,3	+7	-	3	-	22000	✓	1,02	GI169	SQ020	-
32A3R090A32-SAD11E-C	32	195	32	-	90	-	-	-	-9	+5	-	3	-	21300	✓	1,01	GI169	SQ020	-
32A5R034A32-SAD11E-C	32	195	32	-	34	-	-	-	-9	+8	-	5	-	21300	✓	1,03	GI169	SQ025	-
35A5R025A32-SAD11E-C	35	200	32	-	25	-	-	-	-9	+8	-	5	-	20300	✓	1,16	GI169	SQ020	-
16A2R027B16-SAD11E-C	16	75	16	-	27	-	-	-	-12,8	+4	-	2	-	30100	✓	0,09	GI169	SQ025	-
20A2R032B20-SAD11E-C	20	82	20	-	32	-	-	-	-11,5	+5	-	2	-	27000	✓	0,13	GI169	SQ020	-
20A3R032B20-SAD11E-C	20	82	20	-	32	-	-	-	-11,5	+5	-	3	-	27000	✓	0,13	GI169	SQ025	-
25A3R042B25-SAD11E-C	25	98	25	-	42	-	-	-	-10,2	+5	-	3	-	24100	✓	0,50	GI169	SQ020	-
25A4R042B25-SAD11E-C	25	98	25	-	42	-	-	-	-10,2	+5	-	4	-	24100	✓	0,31	GI169	SQ025	-
32A4R042B32-SAD11E-C	32	102	32	-	42	-	-	-	-9	+8	-	4	-	21300	✓	0,27	GI169	SQ020	-
32A5R042B32-SAD11E-C	32	102	32	-	42	-	-	-	-9	+8	-	5	-	21300	✓	0,52	GI169	SQ025	-
20A3R035E03-SAD11E-C	20	116	-	-	30	35	-	-	-11,5	+5	3	3	-	27000	✓	0,28	GI169	SQ025	-
25A4R043E03-SAD11E-C	25	124	-	-	38	43	-	-	-10,2	+5	3	4	-	24100	✓	0,32	GI169	SQ025	-
16A2R024M08-SAD11E-C	16	38	8,5	-	-	-	24	M8	-12,8	+4	-	2	-	-	✓	0,10	GI169	SQ025	-
20A2R026M10-SAD11E-C	20	45	11	-	-	-	26	M10	-11,5	+5	-	2	-	-	✓	0,09	GI169	SQ020	-
20A3R026M10-SAD11E-C	20	45	10,5	-	-	-	26	M10	-11,5	+5	-	3	-	-	✓	0,11	GI169	SQ025	-
25A3R033M12-SAD11E-C	25	55	12,5	-	-	-	33	M12	-10,2	+5	-	3	-	-	✓	0,15	GI169	SQ020	-
25A4R033M12-SAD11E-C	25	55	12,5	-	-	-	33	M12	-10,2	+5	-	4	-	-	✓	0,09	GI169	SQ025	-

ISO	D	L	d	d ₁	l ₁	l ₂	H	M	γ _f °	γ _p °	Morse					kg			
32A4R043M16-SAD11E-C	32	66	17	-	-	-	43	M16	-9	+8	-	4	-	-	✓	0,26	GI169	SQ020	-
32A5R043M16-SAD11E-C	32	66	17	-	-	-	43	M16	-9	+8	-	5	-	-	✓	0,21	GI169	SQ025	-
40A4R043M16-SAD11E-C	40	66	17	-	-	-	43	M16	-8,1	+11	-	4	-	-	✓	0,31	GI169	SQ020	-
40A6R043M16-SAD11E-C	40	66	17	-	-	-	43	M16	-8,1	+11	-	6	-	-	✓	0,21	GI169	SQ020	-
40A04R-S90AD11E-C	40	40	16	14	-	-	-	-	-8,1	+11	-	4	✓	19100	✓	0,16	GI169	SQ022	-
40A05R-S90AD11E-C	40	40	16	14	-	-	-	-	-8,1	+11	-	5	✓	19000	✓	0,32	GI169	SQ022	-
40A06R-S90AD11E-C	40	40	16	14	-	-	-	-	-8,1	+11	-	6	✓	19100	✓	0,16	GI169	SQ022	-
50A05R-S90AD11E-C	50	40	22	18	-	-	-	-	-7,2	+12	-	5	✓	17000	✓	0,31	GI169	SQ023	-
50A07R-S90AD11E-C	50	40	22	18	-	-	-	-	-7,2	+12	-	7	✓	17000	✓	0,45	GI169	SQ023	-
63A06R-S90AD11E-C	63	40	22	18	-	-	-	-	-6,5	+12	-	6	✓	15200	✓	0,54	GI169	SQ023	-
63A09R-S90AD11E-C	63	40	22	18	-	-	-	-	-6,5	+12	-	9	✓	15200	✓	0,63	GI169	SQ023	-
80A10R-S90AD11E-C	80	50	27	38	-	-	-	-	-6	+12	-	10	✓	13500	✓	1,06	GI169	SQ021	AC001

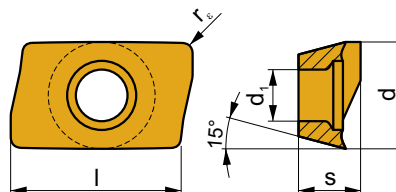
GI169	ADMX 11T3..	ADEX 11T3..

SQ020	US 62506-T07P	1,2	M 2,5	6	-	-	Flag T07P	-
SQ021	US 62506-T07P	1,2	M 2,5	6	D-T07P/T09P	FG-15	-	-
SQ022	US 62506-T07P	1,2	M 2,5	6	D-T07P/T09P	FG-15	-	HS 0830C
SQ023	US 62506-T07P	1,2	M 2,5	6	D-T07P/T09P	FG-15	-	HS 1030C
SQ025	US 62505-T07P	1,2	M 2,5	5	-	-	Flag T07P	-

AC001	KS 1230	K.FMH27
AC002	KS 1635	K.FMH32
AC003	KS 2040	K.FMH40

ADMX 11

	d	d ₁	l	s
11T3	6,530	2,90	11,00	3,97

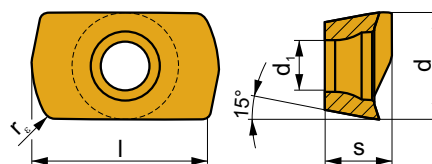


i	ISO	Image	P	M	K	N	S	H	?	Image	r _c	f _{min}	f _{max}	a _{p min}	a _{p max}		
																1	U
 	ADMX 11T304SR-F	M9340	█	█			█		●	---	0,4	0,07	0,10	0,2	9,0		
		M8310	█	█	█		█		●	-	0,4	0,07	0,12	0,2	9,0		
		M8330	█	█	█	□	□		●	-	0,4	0,07	0,12	0,2	9,0		
		M8340	█	█	█		█		●	+/-	0,4	0,07	0,12	0,2	9,0		
		8215	█	█	█	█	█		●	-	0,4	0,07	0,12	0,2	9,0		
		8230	█	█	█	□	█		●	-	0,4	0,07	0,12	0,2	9,0		
		M9340	█	█	█		█		●	---	0,8	0,07	0,10	0,2	9,0		
		M8330	█	█	█	□	□		●	-	0,8	0,07	0,12	0,2	9,0		
		M8340	█	█	█		█		●	+/-	0,8	0,07	0,12	0,2	9,0		
		8215	█	█	█	█	█		●	-	0,8	0,07	0,12	0,2	9,0		
 	ADMX 11T308SR-F	8230	█	█	█	□	█		●	-	0,8	0,07	0,12	0,2	9,0		
		M9340	█	█	█		█		●	---	0,8	0,07	0,10	0,2	9,0		
		M8330	█	█	█	□	□		●	-	0,8	0,07	0,12	0,2	9,0		
		M8340	█	█	█		█		●	+/-	0,8	0,07	0,12	0,2	9,0		
		8215	█	█	█	█	█		●	-	0,8	0,07	0,12	0,2	9,0		
		8230	█	█	█	□	█		●	-	0,8	0,07	0,12	0,2	9,0		
		M9340	█	█	█		█		●	---	0,8	0,07	0,10	0,2	9,0		
		M8330	█	█	█	□	□		●	-	0,8	0,07	0,12	0,2	9,0		
		M8340	█	█	█		█		●	+/-	0,8	0,07	0,12	0,2	9,0		
		8215	█	█	█	█	█		●	-	0,8	0,07	0,12	0,2	9,0		
 	ADMX 11T302SR-M	M8330	█	█	█		□		●	-	0,2	0,10	0,14	0,2	9,0		
		M8340	█	█	█		█		●	+/-	0,2	0,10	0,14	0,2	9,0		
		 	ADMX 11T304SR-M	M9325	█	█		█		●	---	0,4	0,10	0,14	0,2	9,0	
				M9340	█	█		█		●	---	0,4	0,10	0,14	0,2	9,0	
				M8310	█	█	█		█		●	-	0,4	0,10	0,18	0,2	9,0
				M8330	█	█	█		□		●	-	0,4	0,10	0,18	0,2	9,0
				M8340	█	█	█		█		●	+/-	0,4	0,10	0,18	0,2	9,0
				8215	█	█	█		█		●	-	0,4	0,10	0,18	0,2	9,0
				8230	█	█	█		█		●	-	0,4	0,10	0,18	0,2	9,0
				8240	█	█	█		█		●	-	0,4	0,10	0,18	0,2	9,0
 	ADMX 11T308SR-M			M5315	█	█	█		□		●	---	0,8	0,10	0,14	0,2	9,0
				M9315	█	█	█		□		●	---	0,8	0,10	0,14	0,2	9,0
		M9325	█	█			█		●	---	0,8	0,10	0,14	0,2	9,0		
		M9340	█	█			█		●	---	0,8	0,10	0,14	0,2	9,0		
		M8310	█	█	█		█		●	-	0,8	0,10	0,18	0,2	9,0		
		M8330	█	█	█		□		●	-	0,8	0,10	0,18	0,2	9,0		
		M8340	█	█	█		█		●	+/-	0,8	0,10	0,18	0,2	9,0		
		8215	█	█	█		█		●	-	0,8	0,10	0,18	0,2	9,0		
		8230	█	█	█		█		●	-	0,8	0,10	0,18	0,2	9,0		
		 	ADMX 11T310SR-M	M8330	█	█	█		□		✘	-	1,0	0,10	0,22	0,2	9,0
M8340	█			█	█		█		✘	+/-	1,0	0,10	0,22	0,2	9,0		
 	ADMX 11T312SR-M	M8330	█	█	█		□		✘	-	1,2	0,10	0,22	0,2	9,0		
		M8340	█	█	█		█		✘	+/-	1,2	0,10	0,22	0,2	9,0		
		8215	█	█	█		█		●	-	1,2	0,10	0,22	0,2	9,0		
 	ADMX 11T316SR-M	M6330	█	█			█		✘	-	1,6	0,10	0,22	0,2	9,0		
		M8310	█	█	█		█		●	-	1,6	0,10	0,22	0,2	9,0		
		M8330	█	█	█		□		●	-	1,6	0,10	0,22	0,2	9,0		
		M8340	█	█	█		█		●	+/-	1,6	0,10	0,22	0,2	9,0		
		8215	█	█	█		█		●	-	1,6	0,10	0,22	0,2	9,0		
		8230	█	█	█		█		●	-	1,6	0,10	0,22	0,2	9,0		

i		ISO		P	M	K	N	S	H			r _ε	f _{min}	f _{max}	a _{p min}	a _{p max}		
		ADMX 11T320SR-M	M6330	■	■	■	■	■	■	✘	-	2,0	0,10	0,22	0,2	9,0		
			M8330	■	■	■	■	■	■	■	✘	-	2,0	0,10	0,22	0,2	9,0	
			M8340	■	■	■	■	■	■	■	■	✘	+/-	2,0	0,10	0,22	0,2	9,0
		ADMX 11T325SR-M	M6330	■	■	■	■	■	■	✘	-	2,5	0,10	0,22	0,2	9,0		
			M8330	■	■	■	■	■	■	■	✘	-	2,5	0,10	0,22	0,2	9,0	
			M8340	■	■	■	■	■	■	■	✘	+/-	2,5	0,10	0,22	0,2	9,0	
		ADMX 11T330SR-M	M6330	■	■	■	■	■	■	✘	-	3,0	0,10	0,22	0,2	9,0		
			M8330	■	■	■	■	■	■	■	✘	-	3,0	0,10	0,22	0,2	9,0	
			M8340	■	■	■	■	■	■	■	✘	+/-	3,0	0,10	0,22	0,2	9,0	
		ADMX 11T308PR-R	M5315	■	■	■	■	■	■	●	---	0,8	0,15	0,20	0,8	9,0		
			M9315	■	■	■	■	■	■	■	●	---	0,8	0,15	0,20	0,8	9,0	
			M9325	■	■	■	■	■	■	■	●	---	0,8	0,15	0,20	0,8	9,0	
		ADMX 11T316PR-R	M8310	■	■	■	■	■	■	■	■	●	-	0,8	0,15	0,25	0,8	9,0
			M8330	■	■	■	■	■	■	■	■	●	-	0,8	0,15	0,25	0,8	9,0
			M8340	■	■	■	■	■	■	■	■	●	+/-	0,8	0,15	0,25	0,8	9,0
			8215	■	■	■	■	■	■	■	■	●	-	0,8	0,15	0,25	0,8	9,0
ADMX 11T316PR-R	M9325	■	■	■	■	■	■	■	■	●	---	1,6	0,15	0,20	0,8	9,0		
	M8330	■	■	■	■	■	■	■	■	●	-	1,6	0,15	0,25	0,8	9,0		
	M8340	■	■	■	■	■	■	■	■	●	+/-	1,6	0,15	0,25	0,8	9,0		
	8215	■	■	■	■	■	■	■	■	●	-	1,6	0,15	0,25	0,8	9,0		
		ADMX 11T304SR-MF	M9340	■	■	■	■	■	■	●	---	0,4	0,05	0,12	0,2	9,0		
			M6330	■	■	■	■	■	■	■	●	-	0,4	0,05	0,14	0,2	9,0	
			M8340	■	■	■	■	■	■	■	■	●	+/-	0,4	0,05	0,14	0,2	9,0
		ADMX 11T308SR-MF	M9340	■	■	■	■	■	■	●	---	0,8	0,05	0,12	0,2	9,0		
			M6330	■	■	■	■	■	■	■	●	-	0,8	0,05	0,14	0,2	9,0	
			M8340	■	■	■	■	■	■	■	■	●	+/-	0,8	0,05	0,14	0,2	9,0
		ADMX 11T304SR-MM	M9340	■	■	■	■	■	■	●	---	0,4	0,10	0,15	0,2	9,0		
			M6330	■	■	■	■	■	■	■	●	-	0,4	0,10	0,18	0,2	9,0	
			M8340	■	■	■	■	■	■	■	■	●	+/-	0,4	0,10	0,18	0,2	9,0
		ADMX 11T308SR-MM	M9340	■	■	■	■	■	■	●	---	0,8	0,10	0,15	0,2	9,0		
			M6330	■	■	■	■	■	■	■	●	-	0,8	0,10	0,18	0,2	9,0	
			M8340	■	■	■	■	■	■	■	■	●	+/-	0,8	0,10	0,18	0,2	9,0
		ADMX 11T312SR-MM	M8345	■	■	■	■	■	■	●	+/-	0,8	0,10	0,18	0,2	9,0		
			M9340	■	■	■	■	■	■	■	●	---	1,2	0,10	0,15	0,2	9,0	
			M6330	■	■	■	■	■	■	■	■	●	-	1,2	0,10	0,18	0,2	9,0
			M8340	■	■	■	■	■	■	■	■	●	+/-	1,2	0,10	0,18	0,2	9,0
		ADMX 11T312SR-MM	M8345	■	■	■	■	■	■	●	+/-	1,2	0,10	0,18	0,2	9,0		
			M8345	■	■	■	■	■	■	■	●	+/-	1,2	0,10	0,18	0,2	9,0	

ADEX 11-HF

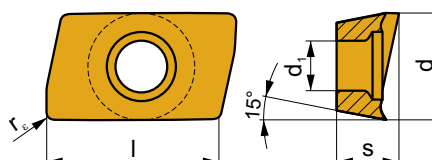
	d	d ₁	l	s
11T3	6,450	2,90	10,67	3,82



i	ISO	Material	ISO					? ? ?	Lubrication	r _c	f _{min}	f _{max}	a _{p min}	a _{p max}	
			P	M	K	N	S								H
 	ADEX 11T308SR-HF	M9340	█	█			█	●	---	0,8	0,40	1,11	0,1	0,6	
		M6330	█	█			█	●	-	0,8	0,40	1,30	0,1	0,6	
		M8310	█	█	□		█	□	●	-	0,8	0,40	1,30	0,1	0,6
		M8330	█	█	□		□	□	●	-	0,8	0,40	1,30	0,1	0,6
		M8340	█	█	□		█		●	+/-	0,8	0,40	1,30	0,1	0,6
		8215	█	█	□		□	□	●	-	0,8	0,40	1,30	0,1	0,6
		8230	█	█	□		█	□	●	-	0,8	0,40	1,30	0,1	0,6
 	ADEX 11T308SR-HF2	M8330	█	█	█		█	●	-	0,8	0,40	1,30	0,2	0,6	
		M9325	█	█			□	●	---	0,8	0,40	1,17	0,2	0,6	
		M9340	█	█			□	●	---	0,8	0,40	1,17	0,2	0,6	
		M8310	█	█	█		□	█	●	-	0,8	0,40	1,30	0,2	0,6
		M8340	█	█	█		□		●	+/-	0,8	0,40	1,30	0,2	0,6
		8230	█	█	█		█	●	-	0,8	0,40	1,30	0,2	0,6	

ADEX 11-FA

	d	d ₁	l	s
11T3	6,450	2,90	9,70	3,91



i	ISO	Material	ISO					? ? ?	Lubrication	r _c	f _{min}	f _{max}	a _{p min}	a _{p max}
			P	M	K	N	S							
 	ADEX 11T304FR-FA	M0315				█		●	++	0,4	0,03	0,30	0,4	9,0
		HF7				█		●	+/-	0,4	0,03	0,30	0,2	9,0
	ADEX 11T308FR-FA	M0315				█		●	++	0,8	0,03	0,30	0,2	9,0
		HF7				█		●	+/-	0,8	0,03	0,30	0,2	9,0
	ADEX 11T312FR-FA	M0315				█		●	++	1,2	0,03	0,30	0,2	9,0
		HF7				█		●	+/-	1,2	0,03	0,30	0,2	9,0
ADEX 11T316FR-FA	HF7				█		●	+/-	1,6	0,03	0,30	0,2	9,0	

ISO		f_{\min}	f_{\max}	M5315	M9315	M9325	M9340	M0315	M6330	M8310	M8340	M8345	8215	8230	8240	HF7
P	●	0,07	0,18	392	392	347	311	-	266	329	284	225	311	297	252	-
	●	0,07	0,15	365	356	306	279	-	239	297	252	198	275	266	230	-
	✘	0,07	0,10	333	324	270	248	-	207	266	221	176	243	230	203	-
M	●	0,07	0,18	-	-	176	185	-	189	167	167	135	185	176	153	72
	●	0,07	0,15	-	-	158	167	-	167	149	149	117	167	158	135	63
	✘	0,07	0,10	-	-	135	149	-	144	135	131	104	144	140	122	54
K	●	0,07	0,18	374	374	-	-	-	-	311	270	-	293	284	243	117
	●	0,07	0,15	347	338	-	-	-	-	284	239	-	261	252	216	104
	✘	0,07	0,10	320	306	-	-	-	-	252	207	-	230	221	194	90
N	●	0,07	0,18	-	-	-	-	684	-	-	-	-	774	747	-	306
	●	0,07	0,15	-	-	-	-	612	-	-	-	-	693	666	-	275
	✘	0,07	0,10	-	-	-	-	536	-	-	-	-	612	581	-	239
S	●	0,07	0,18	-	-	86	90	-	95	81	81	68	90	86	77	36
	●	0,07	0,15	-	-	77	81	-	81	72	72	59	81	77	68	32
	✘	0,07	0,10	-	-	68	72	-	72	68	63	50	72	68	59	27
H	●	0,07	0,18	77	77	-	-	-	-	63	-	-	59	59	-	23
	●	0,07	0,15	72	68	-	-	-	-	59	-	-	54	50	-	18
	✘	0,07	0,10	63	63	-	-	-	-	50	-	-	45	45	-	18

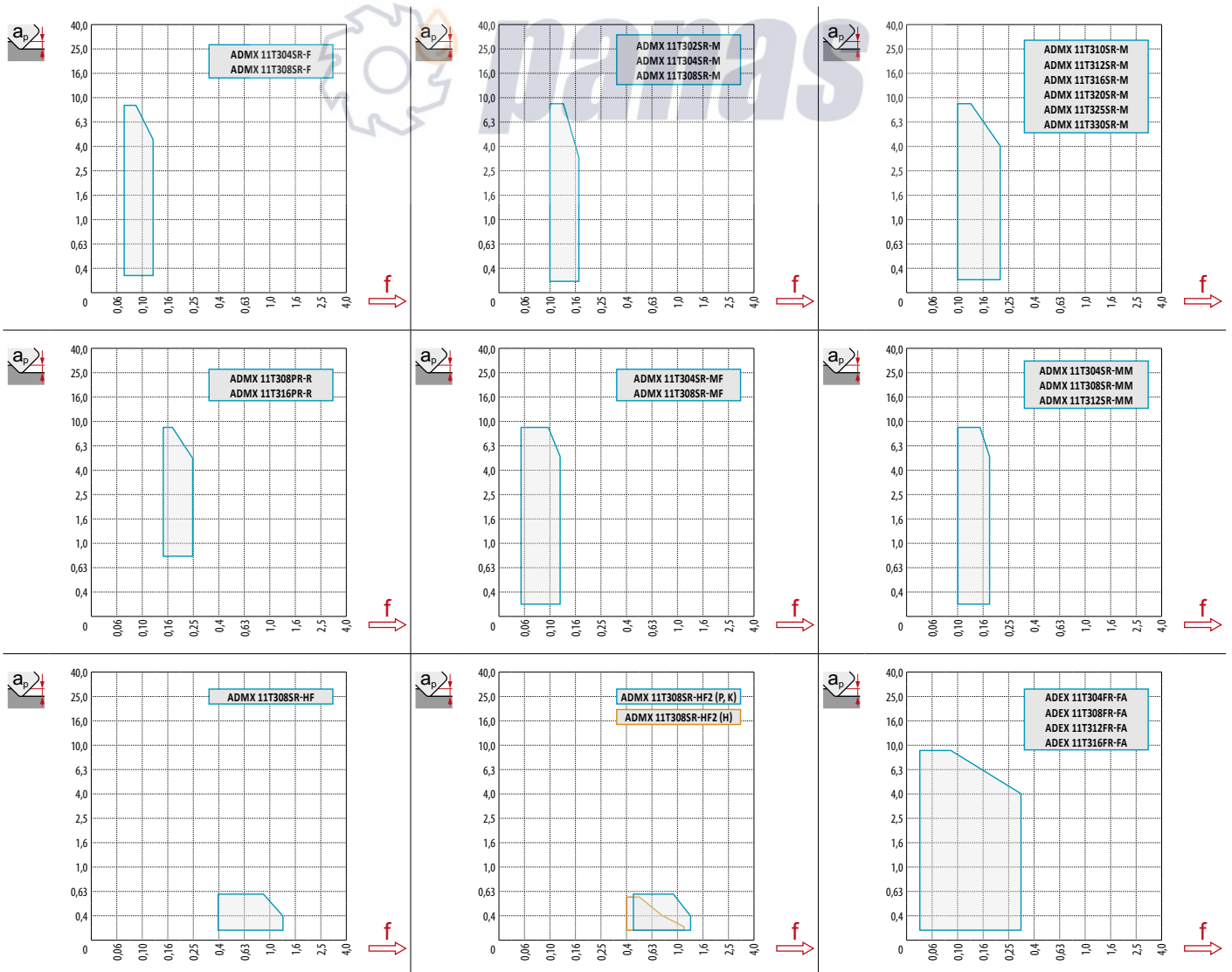
HFC		f_{\min}	f_{\max}	M9325	M9340	M8310	M8340	8215	8230
P	●	0,45	1,25	308	276	292	252	276	264
	●	0,45	1,00	272	248	264	224	244	236
	✘	0,45	0,80	240	220	236	196	216	204
M	●	0,45	1,25	156	164	148	148	164	156
	●	0,45	1,00	140	148	132	132	148	140
	✘	0,45	0,80	120	132	120	116	128	124
K	●	0,45	1,25	-	-	276	240	260	252
	●	0,45	1,00	-	-	252	212	232	224
	✘	0,45	0,80	-	-	224	184	204	196
N	●	0,45	1,25	-	-	-	-	688	664
	●	0,45	1,00	-	-	-	-	616	592
	✘	0,45	0,80	-	-	-	-	544	516
S	●	0,45	1,20	76	80	72	72	80	76
	●	0,45	1,00	68	72	64	64	72	68
	✘	0,45	0,80	60	64	60	56	64	60
H	●	0,40	1,00	-	-	56	-	52	52
	●	0,40	0,80	-	-	52	-	48	44
	✘	0,40	0,60	-	-	44	-	40	40



$\frac{a_e}{D}$	0,05	0,10	0,15	0,20	0,25	0,30	0,40	0,50	0,60	0,70	0,75	0,80	0,90	1,00
	1,48	1,35	1,27	1,22	1,19	1,16	1,11	1,08	1,05	1,03	1,00	1,00	1,00	1,00
	2,87	2,05	1,69	1,48	1,33	1,23	1,09	0,75	0,94	0,90	0,89	0,88	0,88	1,00
	0,64	0,64	0,64	0,64	0,64	0,65	0,65	0,67	0,68	0,71	0,72	0,74	0,79	1,00

	ADMX 11-F		ADMX 11-M										ADMX 11-R		ADMX 11-MF	
r_ϵ	0,4	0,8	0,2	0,4	0,8	1,0	1,2	1,6	2,0	2,5	3,0	0,8	1,6	0,4	0,8	
$\frac{a}{D}$	1,89	1,48	2,09	1,89	1,48	1,27	1,08	0,68	1,61	1,13	0,66	1,48	0,68	1,89	1,48	

	ADMX 11-MM				ADEX 11-HF	ADEX 11-HF2	ADEX 11-FA			
r_ϵ	0,4	0,8	1,2	1,6	0,8	0,8	0,4	0,8	1,2	1,6
$\frac{a}{D}$	1,89	1,48	1,08	0,61	0,17	0,17	1,77	1,39	1,0	0,62





4,5



	1,0	5,0	9,0
	0,20	0,13	0,10



			HFC		
	α_{max}°	a_p/l		α_{max}°	a_p/l
16	13,5	9,0/40	4,1	5,7	0,6/8
18	10,0	9,0/53	2,8	4,5	0,6/12
20	9,0	9,0/59	2,3	4,3	0,6/15
25	6,0	9,0/87	1,3	6,7	0,6/26
32	5,3	9,0/99	0,7	4,3	0,6/49
40	3,8	6,5/100	0,3	2,9	0,6/100
50	2,8	4,7/100	0,1	2,1	0,6/100
63	1,8	3,0/100	-	-	-
80	1,6	2,6/100	-	-	-



					HFC			
	d_{min}	d_{max}			d_{min}	d_{max}		
16	27,0	32,0	8,3	9,0	21,0	32,0	0,6	0,6
18	32,0	36,0	7,5	9,0	29,0	36,0	0,6	0,6
20	35,0	40,0	7,5	9,0	29,0	40,0	0,6	0,6
25	45,0	50,0	6,5	7,5	39,0	50,0	0,6	0,6
32	59,0	64,0	4,0	4,5	53,0	64,0	0,6	0,6
40	75,0	80,0	1,5	2,0	68,5	80,0	0,6	0,6
50	-	-	-	-	88,5	100,0	0,6	0,6



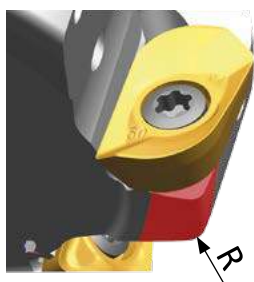
1,7



\varnothing	μm	3	5	10	15	20	30	40	50	60	80	100
16		0,438	0,566	0,800	0,980	1,131	1,386	1,600	1,789	1,960	2,263	2,530
18		0,465	0,600	0,849	1,039	1,200	1,470	1,697	1,897	2,078	2,400	2,683
20		0,490	0,632	0,894	1,095	1,265	1,549	1,789	2,000	2,191	2,530	2,828
20		0,490	0,632	0,894	1,095	1,265	1,549	1,789	2,000	2,191	2,530	2,828
25		0,548	0,707	1,000	1,225	1,414	1,732	2,000	2,236	2,449	2,828	3,162
32		0,620	0,800	1,131	1,386	1,600	1,960	2,263	2,530	2,771	3,200	3,578
40		0,693	0,894	1,265	1,549	1,789	2,191	2,530	2,828	3,098	3,578	4,000
50		0,775	1,000	1,414	1,732	2,000	2,449	2,828	3,162	3,464	4,000	4,472
63		0,869	1,122	1,587	1,944	2,245	2,750	3,175	3,550	3,888	4,490	5,020
80		0,980	1,265	1,789	2,191	2,530	3,098	3,578	4,000	4,382	5,060	5,657

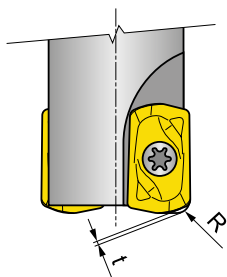
r_e	μm	3	5	10	15	20	30	40	50	60	80	100
1,0		0,155	0,200	0,283	0,346	0,400	0,490	0,566	0,632	0,693	0,800	0,894
1,2		0,170	0,219	0,310	0,379	0,438	0,537	0,620	0,693	0,759	0,876	0,980
1,6		0,196	0,253	0,358	0,438	0,506	0,620	0,716	0,800	0,876	1,012	1,131
2,0		0,219	0,283	0,400	0,490	0,566	0,693	0,800	0,894	0,980	1,131	1,265
2,5		0,245	0,316	0,447	0,548	0,632	0,775	0,894	1,000	1,095	1,265	1,414
3,0		0,268	0,346	0,490	0,600	0,693	0,849	0,980	1,095	1,200	1,386	1,549

i



ADMX/ADEX 11	R
ADMX 11T320SR-M	1,0
ADMX 11T325SR-M	1,8
ADMX 11T330SR-M	1,8
ADEX 11T308SR-HF	1,4
ADEX 11T308SR-HF2	1,4

i



ADEX 11	R	t
	[mm]	[mm]
ADEX 11T308SR-HF	1,42	0,35
ADEX 11T308SR-HF2	1,34	0,38

J(T)-SAD11E

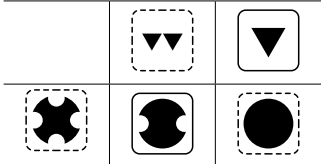
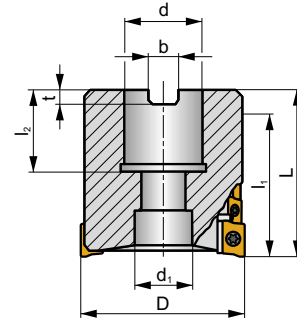
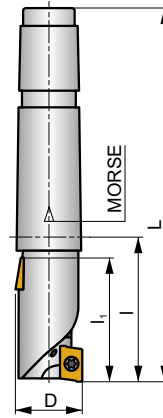
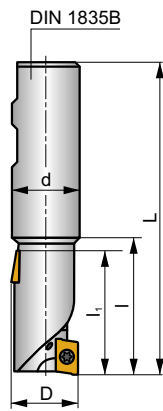
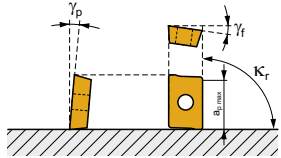


S

FORCE AD



K_r	90°
a_{pmax}	37,0 - 56,0 mm



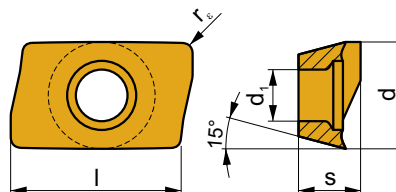
ISO	D	L	d	d ₁	l	l ₁	l ₂	Morse	γ_f°	γ_p°				max.		kg		
25J2R50B25-SAD11E38-C	25	106,0	25	-	50	38	-	-	-10,5	+5	2	8	-	24100	✓	0,32	G184	SQ210
25J2R55E03-SAD11E38-C	25	136,0	-	-	55	38	-	3	-10,5	+5	2	8	-	24100	✓	0,38	G184	SQ210

G184	ADMX 11T3..	ADEX 11T3..FA

SQ210	US 2506-T07P	1,2	M 2,5	6	-	-	Flag T07P	-
SQ903	US 2506-T07P	1,2	M 2,5	6	D-T07P/T09P	FG-15	-	HS 1030C

ADMX 11

	d	d ₁	l	s
11T3	6,530	2,90	11,00	3,97



i	ISO	Material	P	M	K	N	S	H	?	Drop	r _c	f _{min}	f _{max}	a _{p min}	a _{p max}		
																1	U
 	ADMX 11T304SR-F	M9340	█	█			█		●	---	0,4	0,07	0,10	0,2	9,0		
		M8310	█	█	█		█		●	-	0,4	0,07	0,12	0,2	9,0		
		M8330	█	█	█	□	□			●	-	0,4	0,07	0,12	0,2	9,0	
		M8340	█	█	█		█			●	+/-	0,4	0,07	0,12	0,2	9,0	
		8215	█	█	█	█	█			●	-	0,4	0,07	0,12	0,2	9,0	
		8230	█	█	█	□	█			●	-	0,4	0,07	0,12	0,2	9,0	
		8240	█	█	█		█			●	-	0,4	0,07	0,12	0,2	9,0	
		M9340	█	█	█		█			●	---	0,8	0,07	0,10	0,2	9,0	
		M8330	█	█	█	□	□			●	-	0,8	0,07	0,12	0,2	9,0	
		M8340	█	█	█		█			●	+/-	0,8	0,07	0,12	0,2	9,0	
 	ADMX 11T308SR-F	8215	█	█	█	█	█		●	-	0,8	0,07	0,10	0,2	9,0		
		8230	█	█	█	□	█		●	-	0,8	0,07	0,12	0,2	9,0		
		8240	█	█	█		█		●	-	0,8	0,07	0,12	0,2	9,0		
		M9340	█	█	█		█		●	---	0,8	0,07	0,10	0,2	9,0		
		M8330	█	█	█	□	□		●	-	0,8	0,07	0,12	0,2	9,0		
		M8340	█	█	█		█		●	+/-	0,8	0,07	0,12	0,2	9,0		
		8215	█	█	█	█	█		●	-	0,8	0,07	0,12	0,2	9,0		
		8230	█	█	█	□	█		●	-	0,8	0,07	0,12	0,2	9,0		
		8240	█	█	█		█		●	-	0,8	0,07	0,12	0,2	9,0		
		 	ADMX 11T302SR-M	M8330	█	█	█	□			●	-	0,2	0,10	0,14	0,2	9,0
M8340	█			█	█		█		●	+/-	0,2	0,10	0,14	0,2	9,0		
8230	█			█	█		█		●	-	0,2	0,10	0,14	0,2	9,0		
 	ADMX 11T304SR-M			M9325	█	█		█		●	---	0,4	0,10	0,14	0,2	9,0	
				M9340	█	█		█		●	---	0,4	0,10	0,14	0,2	9,0	
				M8310	█	█	█		█		●	-	0,4	0,10	0,18	0,2	9,0
				M8330	█	█	█	□			●	-	0,4	0,10	0,18	0,2	9,0
				M8340	█	█	█		█		●	+/-	0,4	0,10	0,18	0,2	9,0
				8215	█	█	█		█		●	-	0,4	0,10	0,18	0,2	9,0
				8230	█	█	█		█		●	-	0,4	0,10	0,18	0,2	9,0
		8240	█	█	█		█		●	-	0,4	0,10	0,18	0,2	9,0		
		 	ADMX 11T308SR-M	M5315	█					●	---	0,8	0,10	0,14	0,2	9,0	
				M9315	█	█	█				●	---	0,8	0,10	0,14	0,2	9,0
M9325	█			█		█			●	---	0,8	0,10	0,14	0,2	9,0		
M9340	█			█		█			●	---	0,8	0,10	0,14	0,2	9,0		
M8310	█			█	█		█		●	-	0,8	0,10	0,18	0,2	9,0		
M8330	█			█	█	□			●	-	0,8	0,10	0,18	0,2	9,0		
M8340	█			█	█		█		●	+/-	0,8	0,10	0,18	0,2	9,0		
8215	█			█	█		█		●	-	0,8	0,10	0,18	0,2	9,0		
8230	█			█	█		█		●	-	0,8	0,10	0,18	0,2	9,0		
8240	█			█	█		█		●	-	0,8	0,10	0,18	0,2	9,0		
 	ADMX 11T310SR-M	M8330	█	█	█	□		✘	-	1,0	0,10	0,22	0,2	9,0			
		M8340	█	█	█		█		✘	+/-	1,0	0,10	0,22	0,2	9,0		
		8230	█	█	█		█		●	-	1,0	0,10	0,22	0,2	9,0		
 	ADMX 11T312SR-M	M8330	█	█	█	□		✘	-	1,2	0,10	0,22	0,2	9,0			
		M8340	█	█	█		█		✘	+/-	1,2	0,10	0,22	0,2	9,0		
		8215	█	█	█		█		●	-	1,2	0,10	0,22	0,2	9,0		
		8230	█	█	█		█		●	-	1,2	0,10	0,22	0,2	9,0		
 	ADMX 11T316SR-M	M6330	█	█		█		✘	-	1,6	0,10	0,22	0,2	9,0			
		M8310	█	█	█		█		●	-	1,6	0,10	0,22	0,2	9,0		
		M8330	█	█	█	□			✘	-	1,6	0,10	0,22	0,2	9,0		
		M8340	█	█	█		█		✘	+/-	1,6	0,10	0,22	0,2	9,0		
		8215	█	█	█		█		●	-	1,6	0,10	0,22	0,2	9,0		
		8230	█	█	█		█		✘	-	1,6	0,10	0,22	0,2	9,0		
8240	█	█	█		█		✘	-	1,6	0,10	0,22	0,2	9,0				

i	ISO	Image	P	M	K	N	S	H	?	Water	r _ε	f _{min}	f _{max}	a _{p min}	a _{p max}	
	ADMX 11T320SR-M	M6330	█	█			█		✘	-	2,0	0,10	0,22	0,2	9,0	
		M8330	█	█			□		✘	-	2,0	0,10	0,22	0,2	9,0	
		M8340	█	█	█			█		✘	+/-	2,0	0,10	0,22	0,2	9,0
		8230	█	█	█			█		✘	-	2,0	0,10	0,22	0,2	9,0
	ADMX 11T325SR-M	M6330	█	█			█			✘	-	2,5	0,10	0,22	0,2	9,0
		M8330	█	█			□			✘	-	2,5	0,10	0,22	0,2	9,0
		M8340	█	█	█			█		✘	+/-	2,5	0,10	0,22	0,2	9,0
		8230	█	█	█			█		✘	-	2,5	0,10	0,22	0,2	9,0
	ADMX 11T330SR-M	M6330	█	█			█			✘	-	3,0	0,10	0,22	0,2	9,0
		M8330	█	█			□			✘	-	3,0	0,10	0,22	0,2	9,0
		M8340	█	█	█			█		✘	+/-	3,0	0,10	0,22	0,2	9,0
		8230	█	█	█			█		✘	-	3,0	0,10	0,22	0,2	9,0
	ADMX 11T308PR-R	M5315	█	█				█	●	---	0,8	0,15	0,20	0,8	9,0	
		M9315	█	█				█	●	---	0,8	0,15	0,20	0,8	9,0	
		M9325	█	█				█		✘	---	0,8	0,15	0,20	0,8	9,0
		M8310	█	█				█	█	✘	-	0,8	0,15	0,25	0,8	9,0
	ADMX 11T316PR-R	M8330	█	█				█	█	✘	-	0,8	0,15	0,25	0,8	9,0
		M8340	█	█	█			█		✘	+/-	0,8	0,15	0,25	0,8	9,0
		8215	█	█				█	█	✘	-	0,8	0,15	0,25	0,8	9,0
		8230	█	█				█	█	✘	-	0,8	0,15	0,25	0,8	9,0
	ADMX 11T316PR-R	8240	█	█				█		✘	-	0,8	0,15	0,25	0,8	9,0
		M9325	█	█				█		✘	---	1,6	0,15	0,20	0,8	9,0
		M8330	█	█				█	█	✘	-	1,6	0,15	0,25	0,8	9,0
		M8340	█	█	█			█		✘	+/-	1,6	0,15	0,25	0,8	9,0
ADMX 11T304SR-MF	8215	█	█				█	█	✘	-	1,6	0,15	0,25	0,8	9,0	
	8230	█	█				█	█	✘	-	1,6	0,15	0,25	0,8	9,0	
	M9340	█	█						●	---	0,4	0,05	0,12	0,2	9,0	
	M6330	█	█						●	-	0,4	0,05	0,14	0,2	9,0	
ADMX 11T308SR-MF	M8340	█	█						●	+/-	0,4	0,05	0,14	0,2	9,0	
	M9340	█	█						●	---	0,8	0,05	0,12	0,2	9,0	
	M6330	█	█						●	-	0,8	0,05	0,14	0,2	9,0	
	M8340	█	█						●	+/-	0,8	0,05	0,14	0,2	9,0	
	ADMX 11T304SR-MM	M9340	█	█					●	---	0,4	0,10	0,15	0,2	9,0	
		M6330	█	█						●	-	0,4	0,10	0,18	0,2	9,0
		M8340	█	█						●	+/-	0,4	0,10	0,18	0,2	9,0
	ADMX 11T308SR-MM	M9340	█	█						●	---	0,8	0,10	0,15	0,2	9,0
		M6330	█	█						●	-	0,8	0,10	0,18	0,2	9,0
		M8340	█	█						●	+/-	0,8	0,10	0,18	0,2	9,0
	ADMX 11T312SR-MM	M8345	█	█						●	+/-	0,8	0,10	0,18	0,2	9,0
		M9340	█	█						●	---	1,2	0,10	0,15	0,2	9,0
		M6330	█	█						●	-	1,2	0,10	0,18	0,2	9,0
	ADMX 11T312SR-MM	M8340	█	█						●	+/-	1,2	0,10	0,18	0,2	9,0
		M8345	█	█						●	+/-	1,2	0,10	0,18	0,2	9,0

ISO	f _{min}	f _{max}	M5315	M9315	M9325	M9340	M6330	M8310	M8340	M8345	8215	8230	8240	
P	●	0,07	0,18	261	261	231	207	177	219	189	150	207	198	168
	●	0,07	0,15	243	237	204	186	159	198	168	132	183	177	153
	✘	0,07	0,10	222	216	180	165	138	177	147	117	162	153	135
M	●	0,07	0,18	-	-	117	123	126	111	111	90	123	117	102
	●	0,07	0,15	-	-	105	111	111	99	99	78	111	105	90
	✘	0,07	0,10	-	-	90	99	96	90	87	69	96	93	81
K	●	0,07	0,18	249	249	-	-	-	207	180	-	195	189	162
	●	0,07	0,15	231	225	-	-	-	189	159	-	174	168	144
	✘	0,07	0,10	213	204	-	-	-	168	138	-	153	147	129



$\frac{a_e}{D}$	0,05	0,10	0,15	0,20	0,25	0,30	0,40	0,50	0,60	0,70	0,75	0,80	0,90	1,00
	1,48	1,35	1,27	1,22	1,19	1,16	1,11	1,08	1,05	1,03	1,00	1,00	1,00	1,00
	2,87	2,05	1,69	1,48	1,33	1,23	1,09	0,75	0,94	0,90	0,89	0,88	0,88	1,00
	0,64	0,64	0,64	0,64	0,64	0,65	0,65	0,67	0,68	0,71	0,72	0,74	0,79	1,00

	ADMX 11-F		ADMX 11-M								ADMX 11-R		ADMX 11-MF		
r_ϵ	0,4	0,8	0,2	0,4	0,8	1,0	1,2	1,6	2,0	2,5	3,0	0,8	1,6	0,4	0,8
$\frac{a}{\dots}$	1,89	1,48	2,09	1,89	1,48	1,27	1,08	0,68	1,61	1,13	0,66	1,48	0,68	1,89	1,48

	ADMX 11-MM		
r_ϵ	0,4	0,8	1,2
$\frac{a}{\dots}$	1,89	1,48	1,08


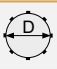

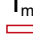

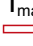

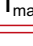




















ISO				
25J2R50B25-SAD11E38-C	25	2	38	34,5
32J2R60B32-SAD11E47-C	32	2	47	43,5
40J2R60B40-SAD11E47-C	40	2	47	43,5
40J3R70B32-SAD11E56-C	40	3	56	52,5
40J3R70B40-SAD11E56-C	40	3	56	52,5
25J2R55E03-SAD11E38-C	25	2	38	34,5
32J2R65E04-SAD11E47-C	32	2	47	43,5
40J3R75E04-SAD11E56-C	40	3	56	52,5
50T03R-S90AD11E37-C	50	3	37	33,5



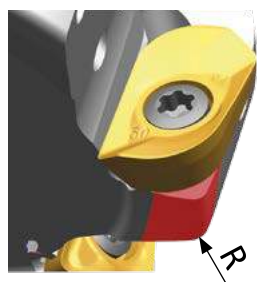
	4,5
--	-----



	1		2,5		5		7,5		10		15		20	
	f_{\min} 	f_{\max} 	f_{\min} 	f_{\max} 	f_{\min} 	f_{\max} 	f_{\min} 	f_{\max} 	f_{\min} 	f_{\max} 	f_{\min} 	f_{\max} 	f_{\min} 	f_{\max} 
25	0,25	0,40	0,16	0,26	0,12	0,19	0,10	0,15	0,09	0,14	0,07	0,12	0,07	0,11
32	0,28	0,45	0,18	0,29	0,13	0,21	0,11	0,17	0,09	0,15	0,08	0,13	0,07	0,12
40	0,32	0,51	0,20	0,32	0,14	0,23	0,12	0,19	0,10	0,17	0,09	0,14	0,08	0,13
50	0,35	0,57	0,23	0,36	0,16	0,26	0,13	0,21	0,12	0,19	0,10	0,15	0,09	0,14

	25		32		40		50	
	f_{\min} 	f_{\max} 	f_{\min} 	f_{\max} 	f_{\min} 	f_{\max} 	f_{\min} 	f_{\max} 
25	0,08	0,13	-	-	-	-	-	-
32	0,07	0,11	0,08	0,13	-	-	-	-
40	0,07	0,12	0,07	0,11	0,08	0,13	-	-
50	0,08	0,13	0,07	0,12	0,07	0,11	0,08	0,13

i



ADMX/ADEX 11	R
ADMX 11T320SR-M	1,0
ADMX 11T325SR-M	1,8
ADMX 11T330SR-M	1,8



SAD16E

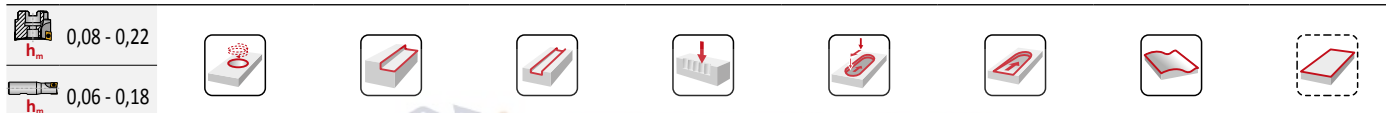
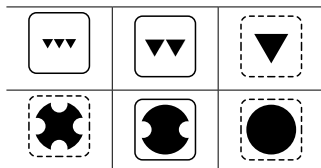
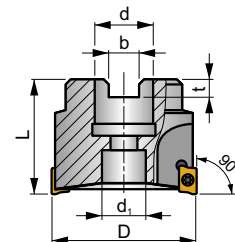
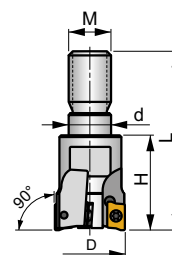
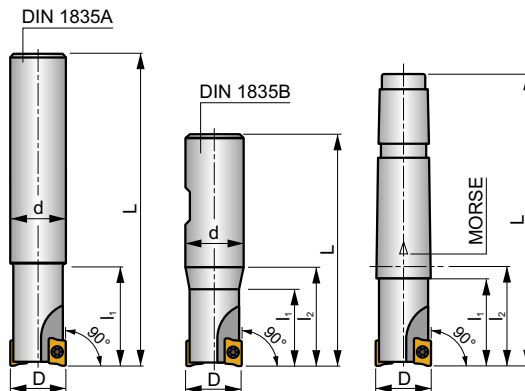
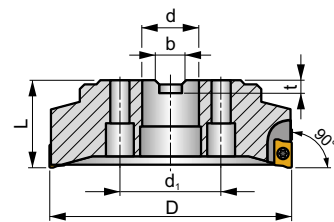
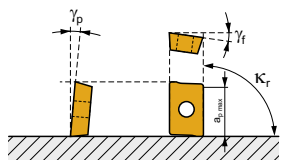
P M K N S H

S

FORCE AD



K_r	90°
a_{pmax}	13,0 mm



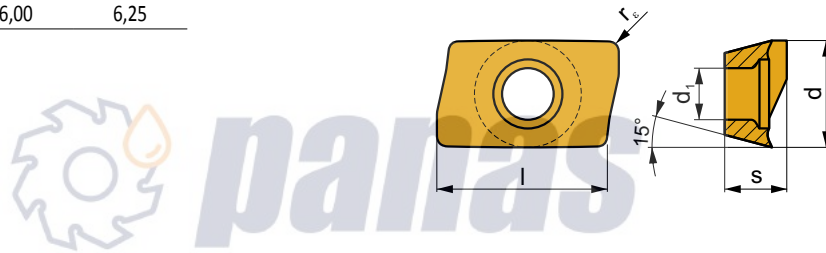
ISO	D	L	d	d ₁	l ₁	l ₂	H	M	γ_p°	γ_f°	Morse			max.		kg					
25A2R033A25-SAD16E-C	25	165	25	-	33	-	-	-	-13	+5	-	2	-	18700	✓	0,52	GI165	SQ030	-	-	-
25A2R038A25-SAD16E-C	25	200	25	-	38	-	-	-	-13	+5	-	2	-	18700	✓	0,71	GI165	SQ030	-	-	-
32A3R033A32-SAD16E-C	32	195	32	-	33	-	-	-	-12	+7	-	3	-	16500	✓	1,03	GI165	SQ030	-	-	-
32A3R048A32-SAD16E-C	32	250	32	-	48	-	-	-	-12	+7	-	3	-	16500	✓	1,37	GI165	SQ030	-	-	-
25A2R042B25-SAD16E-C	25	98	25	-	42	-	-	-	-13	+5	-	2	-	18700	✓	0,29	GI165	SQ030	-	-	-
32A3R040B32-SAD16E-C	32	100	32	-	40	-	-	-	-12	+7	-	3	-	16500	✓	0,59	GI165	SQ030	-	-	-
40A3R050B32-SAD16E-C	40	110	32	-	50	-	-	-	-8,2	+10,5	-	3	-	14800	✓	0,59	GI165	SQ030	-	-	-
40A4R050B32-SAD16E-C	40	110	32	-	50	-	-	-	-8,2	+10,5	-	4	-	14800	✓	0,65	GI165	SQ030	-	-	-
25A2R043E03-SAD16E-C	25	98	-	-	38	43	-	-	-13	+5	3	2	-	18600	✓	0,31	GI165	SQ030	-	-	-
32A3R043E03-SAD16E-C	32	100	-	-	38	43	-	-	-12	+7	3	3	-	16500	✓	0,33	GI165	SQ030	-	-	-
40A4R054E04-SAD16E-C	40	110	-	-	48	54	-	-	-8,2	+10,5	4	4	-	14700	✓	0,70	GI165	SQ030	-	-	-
32A3R043M16-SAD16E-C	32	66	17	-	-	-	43	M16	-12	+7	-	3	-	-	✓	0,21	GI165	SQ030	-	-	-
40A4R043M16-SAD16E-C	40	66	17	-	-	-	43	M16	-8,2	+10,5	-	4	-	-	✓	0,27	GI165	SQ030	-	-	-
40A04R-S90AD16E-C	40	40	16	14	-	-	-	-	-8,2	+10,5	-	4	-	14700	✓	0,16	GI165	SQ032	-	-	-
50A03R-S90AD16E-C	50	40	22	18	-	-	-	-	-7	+11	-	3	-	13200	✓	0,43	GI165	SQ033	-	-	-
50A05R-S90AD16E-C	50	40	22	18	-	-	-	-	-7	+11	-	5	✓	13200	✓	0,59	GI165	SQ033	-	-	-
63A04R-S90AD16E-C	63	40	22	18	-	-	-	-	-6	+12	-	4	✓	11800	✓	0,62	GI165	SQ033	-	-	-
63A06R-S90AD16E-C	63	40	22	18	-	-	-	-	-6	+12	-	6	✓	11800	✓	0,46	GI165	SQ033	-	-	-
80A05R-S90AD16E-C	80	50	27	38	-	-	-	-	-5	+12	-	5	✓	10400	✓	1,01	GI165	SQ031	AC001	-	-
80A07R-S90AD16E-C	80	50	27	38	-	-	-	-	-5	+13	-	7	✓	10400	✓	0,97	GI165	SQ031	AC001	-	-
100A06R-S90AD16E-C	100	50	32	45	-	-	-	-	-4	+12	-	6	✓	9300	✓	1,89	GI165	SQ031	AC002	-	-
100A08R-S90AD16E-C	100	50	32	45	-	-	-	-	-4	+12	-	8	✓	9300	✓	1,69	GI165	SQ031	AC002	-	-
125A09R-S90AD16E-C	125	63	40	56	-	-	-	-	-3,8	+12	-	9	✓	8400	✓	3,46	GI165	SQ031	AC003	-	-
140A08R-S90AD16E-C	140	63	40	56	-	-	-	-	-3,8	+12	-	8	✓	7900	✓	4,06	GI165	SQ031	-	-	-
160C10R-S90AD16E-C	160	63	40	66,7	-	-	-	-	-3,8	+10	-	10	✓	7300	✓	6,04	GI165	SQ036	-	-	-
175C10R-S90AD16E-C	175	63	40	66,7	-	-	-	-	-3,8	+12	-	10	✓	7000	✓	7,00	GI165	SQ036	-	-	-

GI165	ADMX 1606..	ADEX 1606..

SQ030	US 4008-T15P	3,5	M 4	8	-	-	Flag T15P	-	-	-	-
SQ031	US 4011-T15P	3,5	M 4	11	D-T08P/T15P	FG-15	-	-	-	-	-
SQ032	US 4008-T15P	3,5	M 4	8	D-T08P/T15P	FG-15	-	HS 0830C	-	-	-
SQ033	US 4011-T15P	3,5	M 4	11	D-T08P/T15P	FG-15	-	HS 1030C	-	-	-
SQ036	US 4011-T15P	3,5	M 4	11	D-T08P/T15P	FG-15	-	HS 1240C	CAC 160C	HSD 0825C	HXK 5

AC001	KS 1230	K.FMH27
AC002	KS 1635	K.FMH32
AC003	KS 2040	K.FMH40

ADMX 16				
	d	d ₁	l	s
1606	9,950	4,50	16,00	6,25

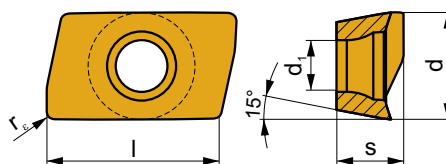


		ISO		P	M	K	N	S	H			r _c	f _{min}	f _{max}	a _{p min}	a _{p max}	
 	 0,1	ADMX 160608SR-F	M9340	█	█					⚙	---	0,8	0,07	0,12	0,3	13,0	
			M8310	█	█	█		█			⚙	-	0,8	0,07	0,15	0,3	13,0
			M8330	█	█	█		█	█		⚙	-	0,8	0,07	0,15	0,3	13,0
			M8340	█	█	█		█			⚙	+/-	0,8	0,07	0,15	0,3	13,0
			8215	█	█	█		█		█	⚙	-	0,8	0,07	0,15	0,3	13,0
			8230	█	█	█		█		█	⚙	-	0,8	0,07	0,15	0,3	13,0
 	 0,17	ADMX 160604SR-M	M8330	█	█	█		█		⚙	-	0,4	0,10	0,25	0,3	13,0	
			M8340	█	█	█		█		⚙	+/-	0,4	0,10	0,25	0,3	13,0	
			8215	█	█	█		█		⚙	-	0,4	0,10	0,25	0,3	13,0	
			8230	█	█	█		█		⚙	-	0,4	0,10	0,25	0,3	13,0	
		ADMX 160608SR-M	M5315			█					⚙	---	0,8	0,10	0,20	0,3	13,0
			M9315	█		█					⚙	---	0,8	0,10	0,20	0,3	13,0
			M9325	█	█			█			⚙	---	0,8	0,10	0,20	0,3	13,0
			M9340	█	█	█					⚙	---	0,8	0,10	0,20	0,3	13,0
			M8310	█	█	█		█			⚙	-	0,8	0,10	0,25	0,3	13,0
			M8330	█	█	█		█		█	⚙	-	0,8	0,10	0,25	0,3	13,0
ADMX 160616SR-M	M8340	█	█	█		█			⚙	+/-	0,8	0,10	0,25	0,3	13,0		
	8215	█	█	█		█		█	⚙	-	0,8	0,10	0,25	0,3	13,0		
	8230	█	█	█		█		█	⚙	-	0,8	0,10	0,25	0,3	13,0		
	M9325	█	█			█			⚙	---	1,6	0,10	0,24	0,3	13,0		
	M8310	█	█	█		█			⚙	-	1,6	0,10	0,30	0,3	13,0		
	M8330	█	█	█		█		█	⚙	-	1,6	0,10	0,30	0,3	13,0		
	M8340	█	█	█		█		█	⚙	+/-	1,6	0,10	0,30	0,3	13,0		

i	ISO	ISO Code	P	M	K	N	S	H	?	r _c	f _{min}	f _{max}	a _{p min}	a _{p max}			
	ADMX 160616SR-M	8215	■	■	■	□	■	■	●	-	1,6	0,10	0,30	0,3	13,0		
		8230	■	■	■	□	■	■	●	-	1,6	0,10	0,30	0,3	13,0		
	ADMX 160620SR-M	M6330	■	■	■	□	■	■	■	●	-	2,0	0,10	0,30	0,3	13,0	
		M8330	■	■	■	□	■	■	■	●	-	2,0	0,10	0,30	0,3	13,0	
		M8340	■	■	■	□	■	■	■	●	+/-	2,0	0,10	0,30	0,3	13,0	
		ADMX 160630SR-M	M8330	■	■	■	□	■	■	●	-	3,0	0,10	0,30	0,3	13,0	
			M8340	■	■	■	□	■	■	●	+/-	3,0	0,10	0,30	0,3	13,0	
		ADMX 160632SR-M	M9325	■	■	■	□	■	■	■	●	---	3,2	0,10	0,24	0,3	13,0
			M6330	■	■	■	□	■	■	■	●	-	3,2	0,10	0,30	0,3	13,0
		ADMX 160640SR-M	M8330	■	■	■	□	■	■	■	●	-	3,2	0,10	0,30	0,3	13,0
M8340			■	■	■	□	■	■	■	●	+/-	3,2	0,10	0,30	0,3	13,0	
8230			■	■	■	□	■	■	■	●	-	3,2	0,10	0,30	0,3	13,0	
ADMX 160650SR-M		M6330	■	■	■	□	■	■	■	●	-	4,0	0,10	0,30	0,3	13,0	
		M8330	■	■	■	□	■	■	■	●	-	4,0	0,10	0,30	0,3	13,0	
		M8340	■	■	■	□	■	■	■	●	+/-	4,0	0,10	0,30	0,3	13,0	
	ADMX 160608PR-R	M5315	■	■	■	□	■	■	●	---	0,8	0,17	0,28	1,0	13,0		
		M9315	■	■	■	□	■	■	■	●	---	0,8	0,17	0,28	1,0	13,0	
	ADMX 160616PR-R	M9325	■	■	■	□	■	■	■	●	---	0,8	0,17	0,28	1,0	13,0	
		M8310	■	■	■	□	■	■	■	●	-	0,8	0,17	0,35	1,0	13,0	
		M8330	■	■	■	□	■	■	■	●	-	0,8	0,17	0,35	1,0	13,0	
	ADMX 160608SR-MF	M8340	■	■	■	□	■	■	■	●	+/-	0,8	0,17	0,35	1,0	13,0	
		8215	■	■	■	□	■	■	■	●	-	0,8	0,17	0,35	1,0	13,0	
		8230	■	■	■	□	■	■	■	●	-	0,8	0,17	0,35	1,0	13,0	
		M9325	■	■	■	□	■	■	■	●	---	1,6	0,17	0,28	1,0	13,0	
		M8330	■	■	■	□	■	■	■	●	-	1,6	0,17	0,35	1,0	13,0	
	ADMX 160604SR-MM	M9340	■	■	■	□	■	■	●	---	0,4	0,14	0,19	0,3	13,0		
		M6330	■	■	■	□	■	■	■	●	-	0,4	0,14	0,22	0,3	13,0	
	ADMX 160608SR-MM	M8340	■	■	■	□	■	■	■	●	+/-	0,4	0,14	0,22	0,3	13,0	
		M9340	■	■	■	□	■	■	■	●	---	0,8	0,14	0,19	0,3	13,0	
		M6330	■	■	■	□	■	■	■	●	-	0,8	0,14	0,22	0,3	13,0	
	ADMX 160616SR-MM	M8340	■	■	■	□	■	■	■	●	+/-	0,8	0,14	0,22	0,3	13,0	
		M8345	■	■	■	□	■	■	■	●	+/-	0,8	0,14	0,22	0,3	13,0	
		M9340	■	■	■	□	■	■	■	●	---	1,6	0,14	0,19	0,3	13,0	
		M6330	■	■	■	□	■	■	■	●	-	1,6	0,14	0,22	0,3	13,0	
		M8340	■	■	■	□	■	■	■	●	+/-	1,6	0,14	0,22	0,3	13,0	
M8345	■	■	■	□	■	■	■	●	+/-	1,6	0,14	0,22	0,3	13,0			

ADEX 16

	d	d ₁	l	s
1606	9,950	4,50	16,00	6,25

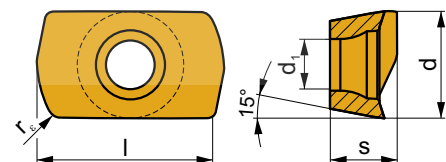


i	ISO	Material	P	M	K	N	S	H	Chip	Fluid	r _e	f _{min}	f _{max}	a _{p min}	a _{p max}
	M8310	■	■	■	■	■	■	■	●	-	0,8	0,10	0,25	0,3	13,0
	M8330	■	■	■	■	■	■	■	●	-	0,8	0,10	0,25	0,3	13,0
	M8340	■	■	■	■	■	■	■	●	+/-	0,8	0,10	0,25	0,3	13,0
	8215	■	■	■	■	■	■	■	●	-	0,8	0,10	0,25	0,3	13,0

ADEX 16-HF

	d	d ₁	l	s
1606	9,950	4,50	16,00	5,88

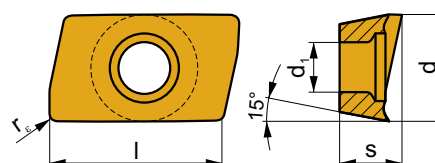
panas



i	ISO	Material	P	M	K	N	S	H	Chip	Fluid	r _e	f _{min}	f _{max}	a _{p min}	a _{p max}
	M9340	■	■	■	■	■	■	■	●	---	1,2	0,60	1,11	0,3	1,3
	M8310	■	■	■	■	■	■	■	●	-	1,2	0,60	1,30	0,3	1,3
	M8330	■	■	■	■	■	■	■	●	-	1,2	0,60	1,30	0,3	1,3
	M8340	■	■	■	■	■	■	■	●	+/-	1,2	0,60	1,30	0,3	1,3
	8215	■	■	■	■	■	■	■	●	-	1,2	0,60	1,30	0,3	1,3
	8230	■	■	■	■	■	■	■	●	-	1,2	0,60	1,30	0,3	1,3
	M9325	■	■	■	■	■	■	■	●	---	1,2	0,60	1,17	0,3	1,3
	M9340	■	■	■	■	■	■	■	●	---	1,2	0,60	1,17	0,3	1,3
	M8310	■	■	■	■	■	■	■	●	-	1,2	0,60	1,30	0,3	1,3
	M8330	■	■	■	■	■	■	■	●	-	1,2	0,60	1,30	0,3	1,3
	M8340	■	■	■	■	■	■	■	●	+/-	1,2	0,60	1,30	0,3	1,3

ADEX 16-FA

	d	d ₁	l	s
1606	9,950	4,50	16,00	6,17



		ISO		P	M	K	N	S	H			r _e	f _{min}	f _{max}	a _{p min}	a _{p max}
 		ADEX 160604FR-FA	M0315				■			●	++	0,4	0,05	0,35	0,3	13,0
			HF7				■			●	+/-	0,4	0,05	0,35	0,3	13,0
		ADEX 160608FR-FA	M0315				■			●	++	0,8	0,05	0,35	0,3	13,0
			HF7				■			●	+/-	0,8	0,05	0,35	0,3	13,0
		ADEX 160616FR-FA	HF7				■			●	+/-	1,6	0,05	0,35	0,3	13,0
	ADEX 160630FR-FA	HF7				■			●	+/-	3,0	0,05	0,35	0,3	13,0	

ISO	f _{min}	f _{max}	M5315	M9315	M9325	M9340	M0315	M6330	M8310	M8340	M8345	8215	8230	8240	HF7	
P	●	0,10	0,30	435	435	385	345	-	295	365	315	250	345	330	280	-
	●	0,10	0,25	405	395	340	310	-	265	330	280	220	305	295	255	-
	✘	0,10	0,15	370	360	300	275	-	230	295	245	195	270	255	225	-
M	●	0,10	0,25	-	-	195	205	-	210	185	185	150	205	195	170	80
	●	0,10	0,20	-	-	175	185	-	185	165	165	130	185	175	150	70
	✘	0,10	0,12	-	-	150	165	-	160	150	145	115	160	155	135	60
K	●	0,10	0,30	415	415	-	-	-	-	345	300	-	325	315	270	130
	●	0,10	0,25	385	375	-	-	-	-	315	265	-	290	280	240	115
	✘	0,10	0,15	355	340	-	-	-	-	280	230	-	255	245	215	100
N	●	0,10	0,30	-	-	-	-	760	-	-	-	-	860	830	-	340
	●	0,10	0,25	-	-	-	-	680	-	-	-	-	770	740	-	305
	✘	0,10	0,15	-	-	-	-	595	-	-	-	-	680	645	-	265
S	●	0,10	0,25	-	-	95	100	-	105	90	90	75	100	95	85	40
	●	0,10	0,20	-	-	85	90	-	90	80	80	65	90	85	75	35
	✘	0,10	0,12	-	-	75	80	-	80	75	70	55	80	75	65	30
H	●	0,10	0,25	85	85	-	-	-	-	70	-	-	65	65	-	25
	●	0,10	0,20	80	75	-	-	-	-	65	-	-	60	55	-	20
	✘	0,10	0,12	70	70	-	-	-	-	55	-	-	50	50	-	20

HFC		f_{min}	f_{max}	M9325	M9340	M8310	M8340	8215	8230
P	●	0,55	1,25	327	293	310	268	293	281
	●	0,55	1,00	289	264	281	238	259	251
	✖	0,55	0,80	255	234	251	208	230	217
M	●	0,55	1,25	166	174	157	157	174	166
	●	0,55	1,00	149	157	140	140	157	149
	✖	0,55	0,80	128	140	128	123	136	132
K	●	0,55	1,25	-	-	293	255	276	268
	●	0,55	1,00	-	-	268	225	247	238
	✖	0,55	0,80	-	-	238	196	217	208
N	●	0,55	1,25	-	-	-	-	731	706
	●	0,55	1,00	-	-	-	-	655	629
	✖	0,55	0,80	-	-	-	-	578	548
S	●	0,55	1,20	81	85	77	77	85	81
	●	0,55	1,00	72	77	68	68	77	72
	✖	0,55	0,80	64	68	64	60	68	64
H	●	0,50	1,00	-	-	60	-	55	55
	●	0,50	0,80	-	-	55	-	51	47
	✖	0,50	0,60	-	-	47	-	43	43

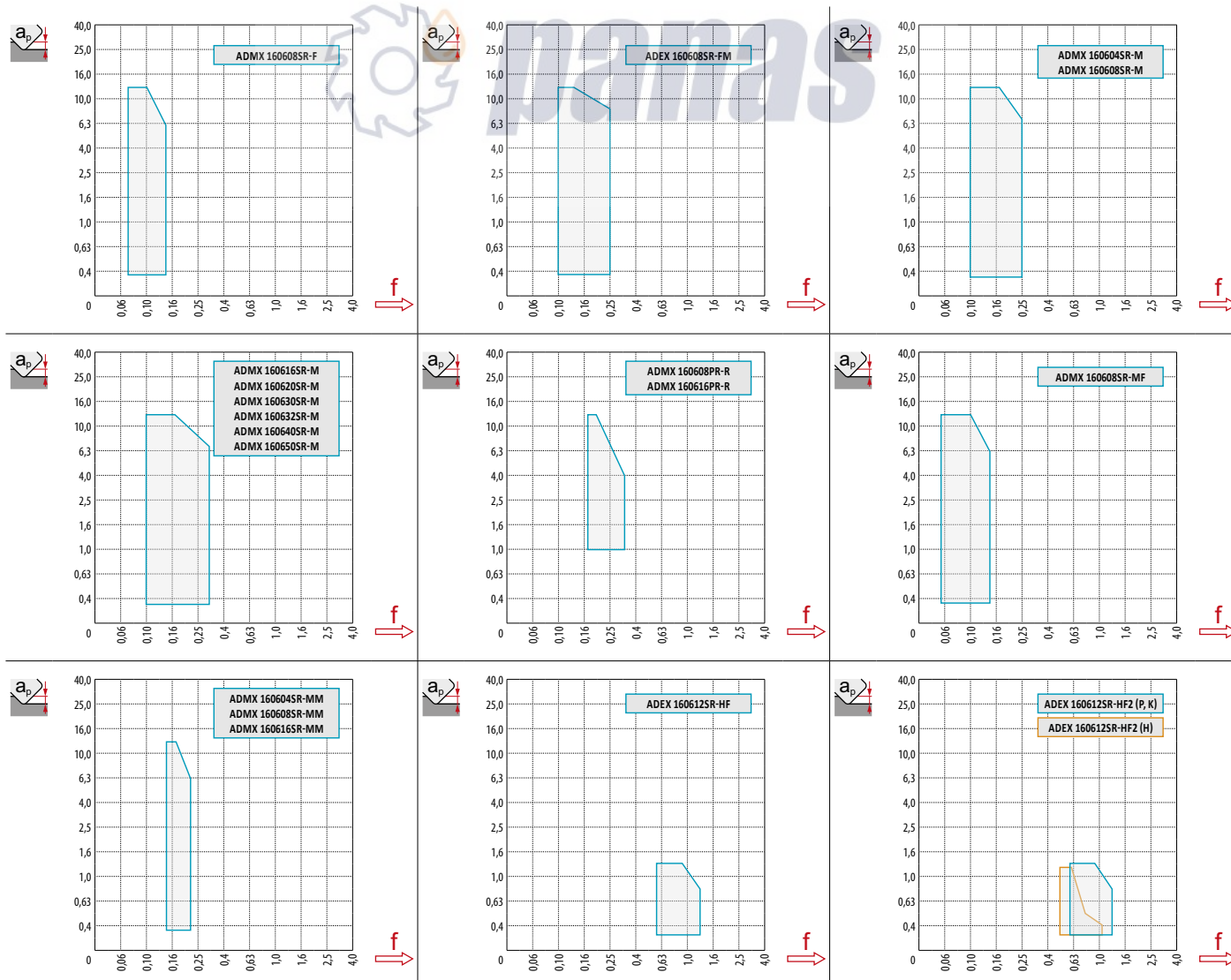


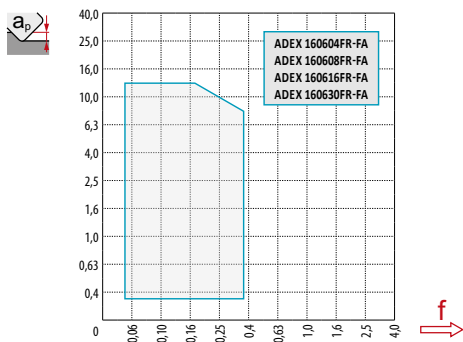


a_e/D	0,05	0,10	0,15	0,20	0,25	0,30	0,40	0,50	0,60	0,70	0,75	0,80	0,90	1,00
$X.V$	1,48	1,35	1,27	1,22	1,19	1,16	1,11	1,08	1,05	1,03	1,00	1,00	1,00	1,00
$X.f$	2,87	2,05	1,69	1,48	1,33	1,23	1,09	0,75	0,94	0,90	0,89	0,88	0,88	1,00
$X.f$	0,64	0,64	0,64	0,64	0,64	0,65	0,65	0,67	0,68	0,71	0,72	0,74	0,79	1,00

	ADMX 16-F	ADEX 16-FM	ADMX 16-M										ADMX 16-R	
r_ϵ	0,8	0,8	0,4	0,8	1,6	2,0	3,0	3,2	4,0	5,0			0,8	1,6
a	2,99	2,18	3,39	2,99	1,62	1,23	0,28	0,09	2,69	1,52			2,99	1,62

	ADMX 16-MF	ADMX 16-MM		ADEX 16-HF	ADEX 16-HF2	ADEX 16-FA				
r_ϵ	0,8	0,4	0,8	1,6	1,2	1,2	0,4	0,8	1,6	3,0
a	2,99	3,39	2,99	1,62	0,52	0,52	2,84	2,44	1,65	0,69





7,5



	1,0	6,0	13,0
	0,28	0,19	0,10



ISO



ISO	D	Z	L	ap
50J3R100H50-SAD16E54-C	50	3	54	50,5
50J3R140H50-SAD16E80-C	50	3	80	76,5
63J3R140H50-SAD16E68-C	63	3	68	64,5
63J3R155H50-SAD16E95-C	63	3	95	91,5
80J4R165H50-SAD16E108-C	80	4	108	104,5
50J3R140G50-SAD16E80-C	50	3	80	76,5
63J3R155G50-SAD16E95-C	63	3	95	91,5
80J4R165G50-SAD16E108-C	80	4	108	104,5
50J3R140X50-SAD16E68-C	50	3	68	64,5
63J3R155X50-SAD16E80-C	63	3	80	76,5
80J4R165X50-SAD16E95-C	80	4	95	91,5
50T03R-S90AD16E40-C	50	3	40	36,5
63T04R-S90AD16E40-C	63	4	40	36,5
63T04R-S90AD16E68-C	63	4	68	64,5
80T04R-S90AD16E55-C	80	4	55	51,5
80T04R-S90AD16E80-C	80	4	80	76,5
100T05R-S90AD16E80-C	100	5	80	76,5



			HFC		
D	α_{max}°	ap/l	α_{max}°	α_{max}°	ap/l
25	12,5	13,0/60	4,0	8,0	1,3/19
32	7,5	13,0/100	2,0	7,5	1,3/38
40	5,0	8,6/100	1,2	4,5	1,3/65
50	3,5	6,0/100	0,8	3,0	1,3/100
63	2,5	4,2/100	0,5	2,0	0,8/100
80	2,0	3,3/100	0,4	1,5	0,6/100



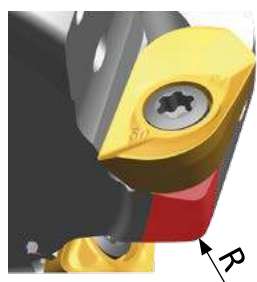
$\varnothing D$	d_{min}	d_{max}	S_{max} d_{min}	S_{max} d_{max}	HFC			
					d_{min}	d_{max}	S_{max} d_{min}	S_{max} d_{max}
25	42,0	50,0	10,0	12,5	42,0	50,0	1,3	1,3
32	55,0	64,0	6,5	9,0	55,0	64,0	1,3	1,3
40	72,0	80,0	5,0	8,0	72,0	80,0	1,3	1,3
50	92,0	100,0	4,5	6,0	92,0	100,0	1,3	1,3
63	118,0	126,0	4,0	5,0	118,0	126,0	1,3	1,3
80	136,0	160,0	1,5	2,0	136,0	160,0	1,3	1,3



$\varnothing D$	μm	3	5	10	15	20	30	40	50	60	80	100
		25		0,548	0,707	1,000	1,225	1,414	1,732	2,000	2,236	2,449
32		0,620	0,800	1,131	1,386	1,600	1,960	2,263	2,530	2,771	3,200	3,578
40		0,693	0,894	1,265	1,549	1,789	2,191	2,530	2,828	3,098	3,578	4,000
50		0,775	1,000	1,414	1,732	2,000	2,449	2,828	3,162	3,464	4,000	4,472
63		0,869	1,122	1,587	1,944	2,245	2,750	3,175	3,550	3,888	4,490	5,020
80		0,980	1,265	1,789	2,191	2,530	3,098	3,578	4,000	4,382	5,060	5,657

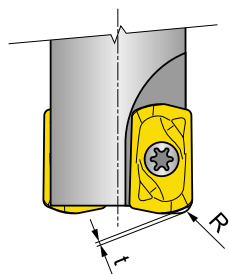
r_e	μm	3	5	10	15	20	30	40	50	60	80	100
		1,6		0,196	0,253	0,358	0,438	0,506	0,620	0,716	0,800	0,876
2,0		0,219	0,283	0,400	0,490	0,566	0,693	0,800	0,894	0,980	1,131	1,265
3,0		0,268	0,346	0,490	0,600	0,693	0,849	0,980	1,095	1,200	1,386	1,549
3,2		0,277	0,358	0,506	0,620	0,716	0,876	1,012	1,131	1,239	1,431	1,600
4,0		0,310	0,400	0,566	0,693	0,800	0,980	1,131	1,265	1,386	1,600	1,789
5,0		0,346	0,447	0,632	0,775	0,894	1,095	1,265	1,414	1,549	1,789	2,000

i



ADMX/ADEX 16	R
ADMX 160630SR-M	2,5
ADMX 160632SR-M	2,5
ADMX 160640SR-M	4,0
ADMX 160650SR-M	4,5
ADEX 160612SR-HF	3,0
ADEX 160612SR-HF2	3,0

i



ADEX 16	R	t
	[mm]	[mm]
ADEX 160612SR-HF	2,59	0,56
ADEX 160612SR-HF2	2,48	0,57

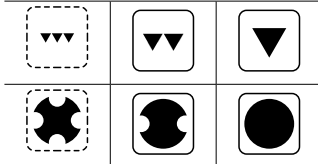
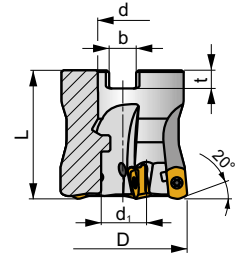
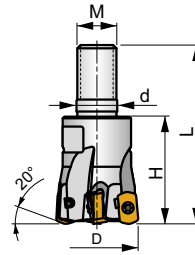
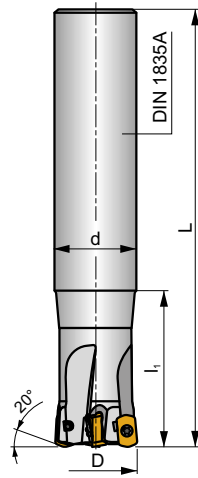
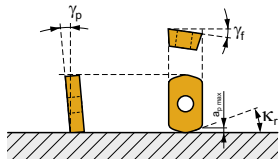
SBN10

P M K S H

S



κ_r	20°
a_{pmax}	1,0 mm



0,17-0,41
 h_m

0,17-0,41
 h_m



ISO	D	L	d	d ₁	l ₁	H	M	b	t	γ_p°	γ_r°							
16E2R030A16-SBN10-C	16	100	16	-	30	-	-	-	-	-10	-12	2	-	31100	✓	0,12	GI329	CO310
16E2R050A16-SBN10-C	16	150	16	-	50	-	-	-	-	-10	-12	2	-	31100	✓	0,18	GI329	CO310
16E2R030A14-SBN10-C	16	150	14	-	30	-	-	-	-	-10	-12	2	-	31100	✓	0,15	GI329	CO310
18E2R030A16-SBN10-C	18	150	16	-	30	-	-	-	-	-10	-11	2	-	29200	✓	0,20	GI329	CO310
20E3R040A20-SBN10-C	20	130	20	-	40	-	-	-	-	-10	-10	3	-	27700	✓	0,25	GI329	CO310
20E3R080A20-SBN10-C	20	160	20	-	80	-	-	-	-	-10	-10	3	-	27700	✓	0,29	GI329	CO310
20E3R040A18-SBN10-C	20	180	18	-	40	-	-	-	-	-10	-10	3	-	27700	✓	0,30	GI329	CO310
20E4R040A20-SBN10-C	20	130	20	-	40	-	-	-	-	-10	-10	4	-	27700	✓	0,26	GI329	CO310
25E4R050A25-SBN10-C	25	140	25	-	50	-	-	-	-	-10	-9	4	✓	24800	✓	0,42	GI329	CO310
25E4R100A25-SBN10-C	25	180	25	-	100	-	-	-	-	-10	-9	4	✓	24800	✓	0,51	GI329	CO310
25E4R050A22-SBN10-C	25	220	22	-	50	-	-	-	-	-10	-9	4	✓	24800	✓	0,54	GI329	CO310
25E5R050A25-SBN10-C	25	140	25	-	50	-	-	-	-	-10	-9	5	-	24800	✓	0,50	GI329	CO310
32E5R070A32-SBN10-C	32	150	32	-	70	-	-	-	-	-10	-8	5	✓	21900	✓	0,73	GI329	CO310
32E6R070A32-SBN10-C	32	150	32	-	70	-	-	-	-	-10	-8	6	✓	21900	✓	0,73	GI329	CO310
32E5R120A32-SBN10-C	32	200	32	-	120	-	-	-	-	-10	-8	5	✓	21900	✓	0,94	GI329	CO310
35E5R050A32-SBN10-C	35	200	32	-	50	-	-	-	-	-10	-7,5	5	✓	21000	✓	1,08	GI329	CO310
35E6R050A32-SBN10-C	35	200	32	-	50	-	-	-	-	-10	-7,5	6	✓	21000	✓	1,08	GI329	CO310
16E2R025M08-SBN10-C	16	43	8,5	-	-	25	M8	-	-	-10	-12	2	-	31100	✓	0,03	GI329	CO310
18E2R025M08-SBN10-C	18	43	8,5	-	-	25	M8	-	-	-10	-11	2	-	29200	✓	0,03	GI329	CO310
20E3R030M10-SBN10-C	20	49	10,5	-	-	30	M10	-	-	-10	-10	3	-	27700	✓	0,05	GI329	CO310
20E4R030M10-SBN10-C	20	49	10,5	-	-	30	M10	-	-	-10	-10	4	-	27700	✓	0,05	GI329	CO310
25E4R033M12-SBN10-C	25	55	12,5	-	-	33	M12	-	-	-10	-9	4	✓	24800	✓	0,08	GI329	CO310
25E5R033M12-SBN10-C	25	55	12,5	-	-	33	M12	-	-	-10	-9	5	-	24800	✓	0,19	GI329	CO310
28E5R035M12-SBN10-C	28	57	12,5	-	-	35	M12	-	-	-10	-8,5	5	✓	23400	✓	0,10	GI329	CO310
32E5R040M16-SBN10-C	32	63	17	-	-	40	M16	-	-	-10	-8	5	✓	21900	✓	0,19	GI329	CO310
32E6R040M16-SBN10-C	32	63	17	-	-	40	M16	-	-	-10	-8	6	✓	21900	✓	0,19	GI329	CO310
35E6R043M16-SBN10-C	35	66	17	-	-	43	M16	-	-	-10	-7,5	6	✓	21000	✓	0,22	GI329	CO310

DIN 1835A

MODULAR

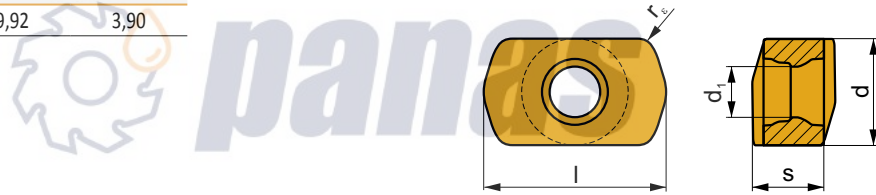
ISO	D	L	d	d ₁	l ₁	H	M	b	t	γ _p °	γ _f °							
40E6R043M16-SBN10-C	40	66	17	-	-	43	M16	-	-	-10	-7	6	✓	19600	✓	0,26	GI329	CO310
40E7R043M16-SBN10-C	40	66	17	-	-	43	M16	-	-	-10	-7	7	✓	19600	✓	0,26	GI329	CO310
40A05R-SMOBN10-C	40	40	16	14,1	-	-	-	8,4	5,6	-10	-7	5	✓	19600	✓	0,21	GI329	CO312
40A07R-SMOBN10-C	40	40	16	14,1	-	-	-	8,4	5,6	-10	-7	7	✓	19600	✓	0,22	GI329	CO312
42A05R-SMOBN10-C	42	40	16	14,1	-	-	-	8,4	5,6	-10	-7	5	✓	19100	✓	0,23	GI329	CO312
42A07R-SMOBN10-C	42	40	16	14,1	-	-	-	8,4	5,6	-10	-7	7	✓	19100	✓	0,24	GI329	CO312

GI329	BNGX 10T3..	ANHX 10T3..

CO310	US42507-T07P	0,9	M 2,5	7	-	-	Flag T07P	-
CO312	US42507-T07P	0,9	M 2,5	7	D-T07P/T09P	FG-15	-	HS0830C

BNGX 10

	d	d ₁	l	s
10T3	5,800	2,76	9,92	3,90



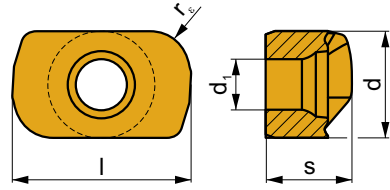
			P	M	K	N	S	H			r _c	f _{min}	f _{max}	a _{p min}	a _{p max}	
 	BNGX 10T308SR-M	M9325	■	□					⊕	---	0,8	0,20	1,05	0,3	1,0	
		M6330	▣	□						⊗	-	0,8	0,20	1,40	0,3	1,0
		M8310	■	□	■				▣	⊕	-	0,8	0,20	1,40	0,3	1,0
		M8330	■	□	■				▣	⊕	-	0,8	0,20	1,40	0,3	1,0
		M8340	■	□	▣					⊗	+/-	0,8	0,20	1,40	0,3	1,0
		M8345	■	□					▣	⊗	+/-	0,8	0,20	1,40	0,3	1,0
		8215	■	□	■				▣	⊕	-	0,8	0,20	1,40	0,3	1,0
 	BNGX 10T308SR-MM	M9325	▣	▣				▣	⊕	---	0,8	0,20	0,83	0,3	1,0	
		M9340	▣	■				■		⊕	---	0,8	0,20	0,83	0,3	1,0
		M6330	▣	■				■		⊕	-	0,8	0,25	1,10	0,3	1,0
		M8310	▣	▣	□			□		⊕	-	0,8	0,25	1,10	0,3	1,0
		M8330	▣	▣	□	□		□		⊕	-	0,8	0,25	1,10	0,3	1,0
		M8340	▣	■	□			■		⊕	+/-	0,8	0,25	1,10	0,3	1,0
		M8345	▣	■				■		⊕	+/-	0,8	0,25	1,10	0,3	1,0

		ISO		P	M	K	N	S	H			r_c	f_{min}	f_{max}	$a_{p min}$	$a_{p max}$
		BNGX 10T308SR-HM	M8310	<input type="checkbox"/>	<input checked="" type="checkbox"/>	<input type="checkbox"/>	<input type="checkbox"/>	<input type="checkbox"/>	<input checked="" type="checkbox"/>	<input checked="" type="checkbox"/>	-	0,8	0,10	1,00	0,1	1,0
			M8330	<input type="checkbox"/>	<input checked="" type="checkbox"/>	<input type="checkbox"/>	<input type="checkbox"/>	<input type="checkbox"/>	<input checked="" type="checkbox"/>	<input checked="" type="checkbox"/>	-	0,8	0,10	1,00	0,1	1,0
			8215	<input type="checkbox"/>	<input checked="" type="checkbox"/>	<input type="checkbox"/>	<input type="checkbox"/>	<input type="checkbox"/>	<input checked="" type="checkbox"/>	<input checked="" type="checkbox"/>	-	0,8	0,10	1,00	0,1	1,0

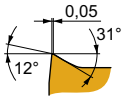
ISO		f_{min}	f_{max}	M9325	M9340	M6330	M8310	M8330	M8340	M8345	8215
P		0,20	1,40	296	264	212	267	244	222	177	257
		0,20	1,16	272	243	195	246	224	204	162	236
		0,20	0,93	234	209	167	205	187	175	140	194
M		0,25	1,10	149	155	149	127	137	132	104	142
		0,25	0,88	137	143	137	117	126	121	95	130
		0,25	0,66	117	123	117	100	108	104	82	112
K		0,20	1,50	-	-	-	253	230	208	-	242
		0,20	1,25	-	-	-	233	211	191	-	223
		0,20	1,00	-	-	-	200	181	164	-	191
S		0,20	0,90	68	72	65	59	63	59	47	-
		0,20	0,77	62	66	60	54	58	54	43	-
		0,10	0,66	53	57	52	46	50	46	37	-
H		0,05	0,70	-	-	-	53	48	-	-	51
		0,05	0,56	-	-	-	49	45	-	-	47
		0,05	0,42	-	-	-	42	38	-	-	40

ANHX 10

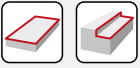
	d	d ₁	l	s
10T3	5,800	2,76	9,72	4,70



i	ISO	M8310	P	M	K	N	S	H	?	r _c	f _{min}	f _{max}	a _{p min}	a _{p max}	
															W
	ANHX 10T320SR-F	M8310	■	▣	□	□	□	▣	●	-	2,0	0,05	0,15	0,1	3,0
		M8330	■	▣	□	□	□	▣	✘	-	2,0	0,05	0,15	0,1	3,0
		M8340	■	▣	□	□	▣	▣	✘	+/-	2,0	0,05	0,15	0,1	3,0



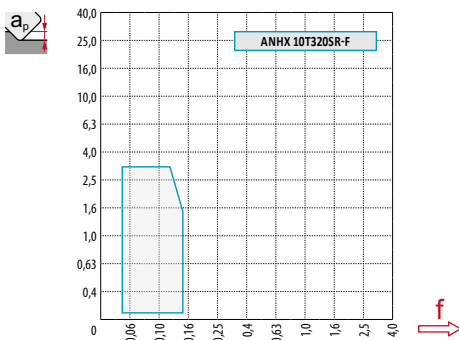
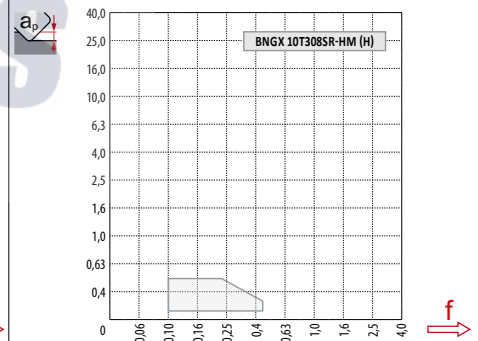
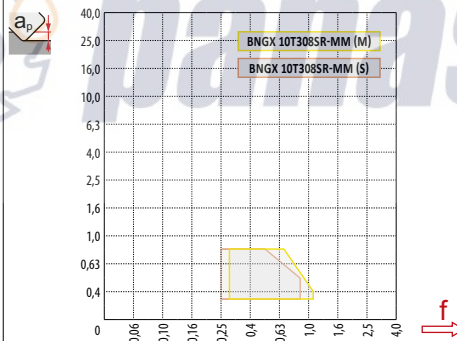
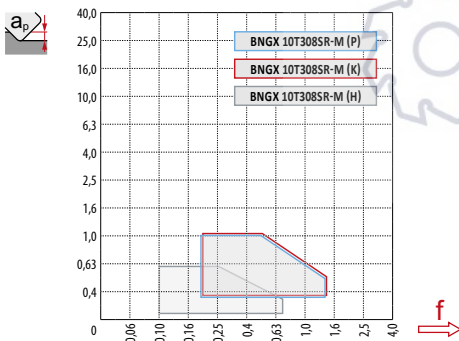
ISO	f _{min}	f _{max}	M8310	M8330	M8340
P	●	0,05	400	323	323
	●	0,05	368	297	297
	✘	0,05	316	255	255
M	●	0,05	203	190	213
	●	0,05	186	175	196
	✘	0,05	160	150	168
K	●	0,05	378	303	340
	●	0,05	347	278	313
	✘	0,05	298	239	269
S	●	0,05	90	85	95
	●	0,05	83	78	87
	✘	0,05	71	67	75
H	●	0,05	78	70	-
	●	0,05	71	64	-
	✘	0,05	61	55	-



a_p / D	0,05	0,10	0,15	0,20	0,25	0,30	0,40	0,50	0,60	0,70	0,75	0,80	0,90	1,00
	1,48	1,35	1,27	1,22	1,19	1,16	1,11	1,08	1,05	1,03	1,00	1,00	1,00	1,00
	2,87	2,05	1,69	1,48	1,33	1,23	1,09	0,75	0,94	0,90	0,89	0,88	0,88	1,00
	0,64	0,64	0,64	0,64	0,64	0,65	0,65	0,67	0,68	0,71	0,72	0,74	0,79	1,00

	BNGX 10-M	BNGX 10-MM	BNGX 10-HM
	0,8	0,8	0,8
	-	-	-

	ANHX 10 - F
	2,0
	0,92



BNGX 10 (HFC)

		0,00	0,30	0,40	0,50	0,60	0,70	0,80	0,90	1,00
16		9,40	12,85	13,36	13,80	14,20	14,56	14,88	15,19	15,47
18		11,40	14,85	15,36	15,80	16,20	16,56	16,88	17,19	17,47
20		13,40	16,85	17,36	17,80	18,20	18,56	18,88	19,19	19,47
25		18,40	21,85	22,36	22,80	23,20	23,56	23,88	24,19	24,47
32		25,40	28,85	29,36	29,80	30,20	30,56	30,88	31,19	31,47
35		28,40	31,85	32,36	32,80	33,20	33,56	33,88	34,19	34,47
40		33,40	36,85	37,36	37,80	38,20	38,56	38,88	39,19	39,47
42		35,40	38,85	39,36	39,80	40,20	40,56	40,88	41,19	41,47

	0,00	0,30	0,40	0,50	0,60	0,70	0,80	0,90	1,00
	-	1,30	1,10	0,90	0,80	0,72	0,68	0,65	0,50


BNGX 10

		f_{max}
16	3,5	0,12
18	3,5	0,12
20	4,0	0,15
25	4,0	0,15
28	4,0	0,17
32	4,0	0,17
35	4,0	0,17
40	4,0	0,17
42	4,0	0,17

BNGX 10 (HFC)

	0,3	0,6	1,0
	1,10	0,60	0,30


BNGX 10 (HFC)

	α_{max}	a_p/l
16	4,0	1/16
18	4,0	1/16
20	4,0	1/16
25	2,8	1/22
28	2,3	1/26
32	1,9	1/32
35	1,7	1/35
40	1,3	1/46
42	1,3	1/46

ANHX 10

	α_{max}	a_p/l
16	1,6	2,65/100
18	1,3	2,15/100
20	1,1	1,80/100
25	0,8	1,25/100
28	0,7	1,10/100
32	0,5	0,75/100
35	0,5	0,75/100
40	0,4	0,55/100
42	0,4	0,55/100


BNGX 10 (HFC)

D	a_p	f_{max}
16	0,4	0,15
18	0,7	0,15
20	0,7	0,15
25	0,7	0,15
32	0,7	0,2
35	0,7	0,2
40	0,7	0,2
42	0,7	0,2


BNGX 10 (HFC)

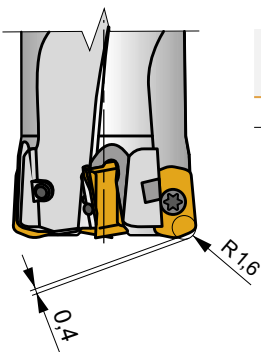
D	d_{min}	d_{max}	$d_{min} S_{max}$	$d_{max} S_{max}$
16	22,4	31,8	0,5	0,5
18	25,4	35,8	0,5	0,5
20	29,4	39,8	0,5	0,5
25	39,4	49,8	0,5	0,5
28	45,4	55,8	0,5	0,5
32	53,4	63,8	0,5	0,5
35	59,4	69,8	0,5	0,5
40	69,4	79,8	0,5	0,5
42	73,4	83,8	0,5	0,5



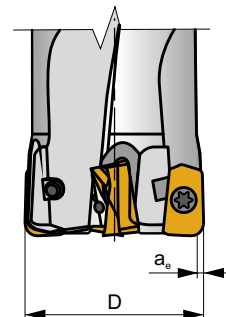
D	μm	3	5	10	15	20	30	40	50	60	80	100
16		0,438	0,566	0,800	0,980	1,131	1,386	1,600	1,789	1,960	2,263	2,530
18		0,465	0,600	0,849	1,039	1,200	1,470	1,697	1,897	2,078	2,400	2,683
20		0,490	0,632	0,894	1,095	1,265	1,549	1,789	2,000	2,191	2,530	2,828
25		0,548	0,707	1,000	1,225	1,414	1,732	2,000	2,236	2,449	2,828	3,162
32		0,620	0,800	1,131	1,386	1,600	1,960	2,263	2,530	2,771	3,200	3,578
35		0,648	0,837	1,183	1,449	1,673	2,049	2,366	2,646	2,898	3,347	3,742
40		0,693	0,894	1,265	1,549	1,789	2,191	2,530	2,828	3,098	3,578	4,000
42		0,710	0,917	1,296	1,587	1,833	2,245	2,592	2,898	3,175	3,666	4,099

ANHX 10

r_ϵ	μm	3	5	10	15	20	30	40	50	60	80	100
2,0		0,219	0,283	0,400	0,490	0,566	0,693	0,800	0,894	0,980	1,131	1,265



	R	t
BNGX 10T308	1,60	0,44



	max a_e/D
ANHX 10T320	0,05

SHN06C

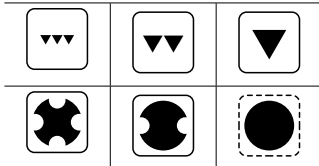
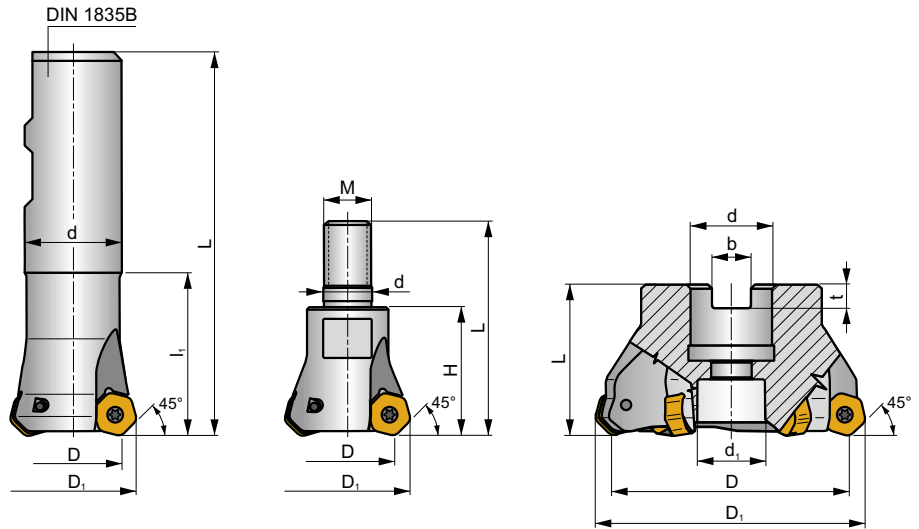
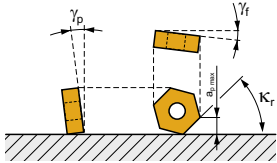
P M K N H

S

ECON HN



κ_r	45°
a_{pmax}	3,0 mm



ISO	D	D ₁	L	d	d ₁	l ₁	H	M	b	t	γ_f°	γ_p°	Flute	max.	kg	GI204	FA010	FA011	FA012	FA013	AC001	AC002	AC003
DIN 1835B	25N2R042B25-SHN06C-C	25	32,2	99	25	-	42	-	-	-	-7	-7	2	-	17400	✓	0,36	GI204	FA010	-	-	-	-
	32N3R042B32-SHN06C-C	32	39,3	103	32	-	42	-	-	-	-7	-7	3	-	15400	✓	0,59	GI204	FA010	-	-	-	-
MODULAR	25N2R033M12-SHN06C-C	25	32,2	56	12,5	-	33	M12	-	-	-7	-7	2	-	-	✓	0,11	GI204	FA010	-	-	-	-
	32N3R043M16-SHN06C-C	32	39,3	66	17,0	-	43	M16	-	-	-7	-7	3	-	-	✓	0,26	GI204	FA010	-	-	-	-
	40N4R043M16-SHN06C-C	40	47,3	66	17,0	-	43	M16	-	-	-7	-7	4	✓	-	✓	0,28	GI204	FA010	-	-	-	-
	40A05R-S45HN06C-C	40	47,3	40	16	14	-	-	8,4	5,6	-7	-7	5	✓	13800	✓	0,37	GI204	FA012	-	-	-	-
50A04R-S45HN06C-C	50	57,3	40	22	18	-	-	10,4	6,3	-7	-7	4	✓	12300	✓	0,62	GI204	FA013	-	-	-	-	
50A06R-S45HN06C-C	50	57,3	40	22	18	-	-	10,4	6,3	-7	-7	6	✓	12300	✓	0,41	GI204	FA013	-	-	-	-	
63A06R-S45HN06C-C	63	70,3	40	22	18	-	-	10,4	6,3	-7	-7	6	✓	11000	✓	0,56	GI204	FA013	-	-	-	-	
63A08R-S45HN06C-C	63	70,3	40	22	18	-	-	10,4	6,3	-7	-7	8	✓	11000	✓	0,69	GI204	FA013	-	-	-	-	
ISO 6462 DIN 9590	80A07R-S45HN06C-C	80	86,8	50	27	38	-	-	12,4	7,0	-7	-7	7	✓	9700	✓	1,10	GI204	FA011	AC001	-	-	-
	80A10R-S45HN06C-C	80	86,8	50	27	38	-	-	12,4	7,0	-7	-7	10	✓	9700	✓	0,19	GI204	FA011	AC001	-	-	-
	100A08R-S45HN06C-C	100	107,1	50	32	45	-	-	14,4	8,0	-7	-7	8	✓	8700	✓	2,07	GI204	FA011	AC002	-	-	-
	100A12R-S45HN06C-C	100	107,1	50	32	45	-	-	14,4	8,0	-7	-7	12	✓	8700	✓	1,82	GI204	FA011	AC002	-	-	-
	125A10R-S45HN06C-C	125	132,2	63	40	56	-	-	16,4	9,0	-7	-7	10	✓	7800	✓	3,62	GI204	FA011	AC003	-	-	-
	125A16R-S45HN06C-C	125	132,2	63	40	56	-	-	16,4	9,0	-7	-7	16	✓	7800	✓	3,93	GI204	FA011	AC003	-	-	-

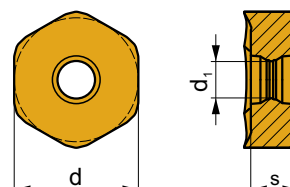
GI204	HNGX 0604AN..	WXGX 0604AN..
-------	---------------	---------------

FA010	US 3007-T09P	2,0	M 3	7	-	-	Flag T09P	-
FA011	US 3007-T09P	2,0	M 3	7	D-T07P/T09P	FG-15	-	-
FA012	US 3007-T09P	2,0	M 3	7	D-T07P/T09P	FG-15	-	HS 0830C
FA013	US 3007-T09P	2,0	M 3	7	D-T07P/T09P	FG-15	-	HS 1030C

AC001	KS 1230	K.FMH27
AC002	KS 1635	K.FMH32
AC003	KS 2040	K.FMH40

HNGX 06

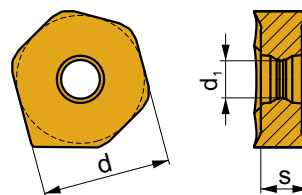
	d	d ₁	s
0604	10,500	3,70	4,76



		ISO		P	M	K	N	S	H			r _e	f _{min}	f _{max}	a _{p min}	a _{p max}		
 	HNGX 0604ANSN-F	M9340		■	■						---	-	0,08	0,17	0,3	3,0		
		M6330		■	■							-	-	0,08	0,17	0,3	3,0	
		M8310		■	■	□							-	-	0,08	0,17	0,3	3,0
		M8330		■	■	□	□						-	-	0,08	0,17	0,3	3,0
		M8340		■	■	□							+/-	-	0,08	0,17	0,3	3,0
		8215		■	■	□	□						-	-	0,08	0,17	0,3	3,0
 	HNGX 0604ANSN-M	M5315		■	■				□		---	-	0,13	0,25	0,6	3,0		
		M9315		■	■	□			□			---	-	0,13	0,25	0,6	3,0	
		M9325		■	■	□							---	-	0,13	0,25	0,6	3,0
		M9340		■	■								---	-	0,13	0,25	0,6	3,0
		M6330		■	■								-	-	0,13	0,25	0,6	3,0
		M8310		■	■	■				□			-	-	0,13	0,25	0,6	3,0
		M8330		■	■	■	□		□				-	-	0,13	0,25	0,6	3,0
		M8340		■	■	■							+/-	-	0,13	0,25	0,6	3,0
8215		■	■	■	□		□				-	-	0,13	0,25	0,6	3,0		
 	HNGX 0604ANSN-R	M5315		■	■	■			■		---	-	0,18	0,30	1,0	3,0		
		M9325		■	■							---	-	0,18	0,30	1,0	3,0	
		M8310		■	■	■				■			-	-	0,18	0,30	1,0	3,0
		M8330		■	■	■				■			-	-	0,18	0,30	1,0	3,0
		M8340		■	■	■							+/-	-	0,18	0,30	1,0	3,0
		8215		■	■	■				■			-	-	0,18	0,30	1,0	3,0

XNGX 06

	d	d ₁	s
0604	10,500	3,70	4,76



i	ISO		P	M	K	N	S	H	?	r _c	f _{min}	f _{max}	a _{p min}	a _{p max}
✓	XNGX 0604ANSN	8215	■	■	■	□			●	-	0,13	0,25	0,7	3,0
W														
S														

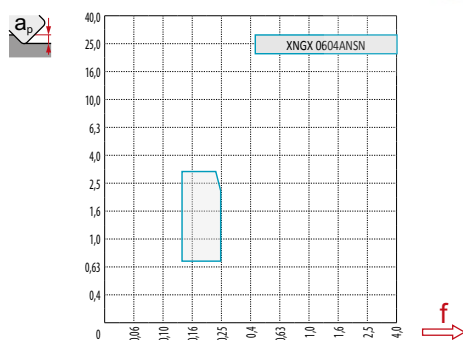
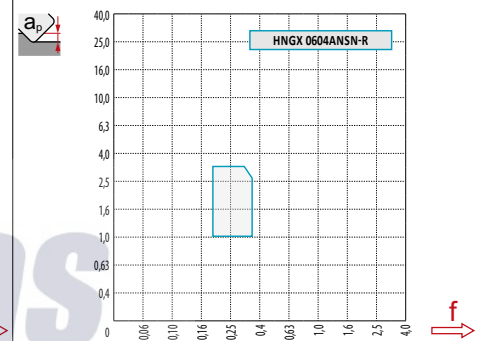
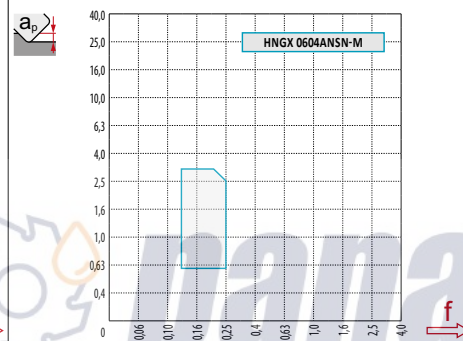
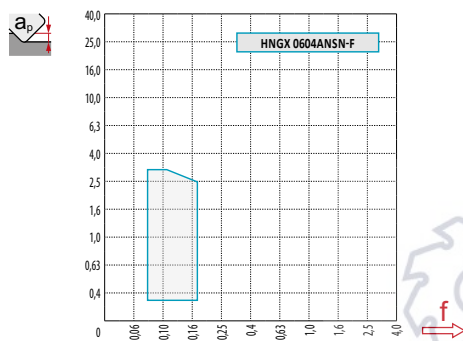
0,12
22°

ISO	f _{min}	f _{max}	M5315	M9315	M9325	M9340	M8310	M8340	8215	8230	8240	
P	●	0,10	0,30	500	500	443	397	420	362	397	380	322
	●	0,10	0,25	466	454	391	357	380	322	351	339	293
	✘	0,10	0,15	426	414	345	316	339	282	311	293	259
M	●	0,10	0,30	-	-	224	236	213	213	236	224	196
	●	0,10	0,25	-	-	201	213	190	190	213	201	173
	✘	0,10	0,15	-	-	173	190	173	167	184	178	155
K	●	0,10	0,30	477	477	-	-	397	345	374	362	311
	●	0,10	0,25	443	431	-	-	362	305	334	322	276
	✘	0,10	0,15	408	391	-	-	322	265	293	282	247
N	●	0,10	0,30	-	-	-	-	-	-	989	955	-
	●	0,10	0,25	-	-	-	-	-	-	886	851	-
	✘	0,10	0,15	-	-	-	-	-	-	782	742	-
H	●	0,10	0,20	98	98	-	-	81	-	75	75	-
	●	0,10	0,16	92	86	-	-	75	-	69	63	-
	✘	0,10	0,12	81	81	-	-	63	-	58	58	-



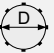
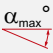

a_p / D	0,05	0,10	0,15	0,20	0,25	0,30	0,40	0,50	0,60	0,70	0,75	0,80	0,90	1,00
	1,48	1,35	1,27	1,22	1,19	1,16	1,11	1,08	1,05	1,03	1,02	1,01	0,99	0,98
	2,87	2,05	1,69	1,48	1,33	1,23	1,09	0,75	0,94	0,90	0,89	0,88	0,88	1,00
	0,64	0,64	0,64	0,64	0,64	0,65	0,65	0,67	0,68	0,71	0,72	0,74	0,79	1,00

	HNGX 06-F	HNGX 06-M	HNGX 06-R	XNGX 06
r_ϵ	-	-	-	-
a	1,12	0,80	0,80	4,15



D	$X.V$	f_{max}
25	1,31	0,24
32	1,36	0,28
40	1,40	0,31
50	1,45	0,35
63	1,49	0,39
80	1,54	0,44
100	1,59	0,49
125	1,64	0,55



 D	 α_{max} °	 a_p/l
25	2,7	3,0/65
32	1,9	3,0/89
40	1,5	2,5/100
50	1,1	1,9/100
63	0,9	1,4/100
80	0,6	1,0/100
100	0,5	0,8/100
125	0,4	0,6/100



0,9



SHN09C

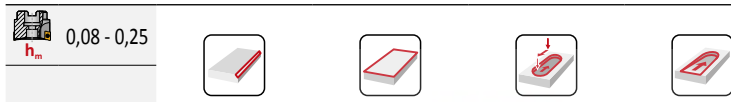
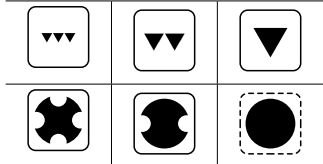
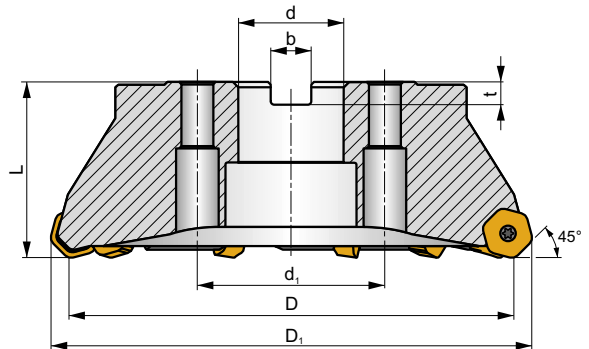
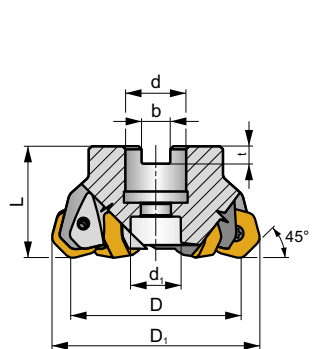
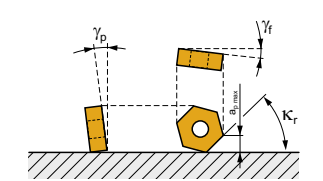
P M K N H

S

ECON HN



K_r	45°
a_{pmax}	5,0 mm



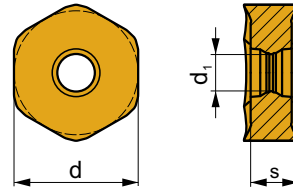
ISO	D	D ₁	L	d	d ₁	b	t	γ_f	γ_p			max.		kg			
50A04R-S45HN09C-CF	50	61,7	40	22	18	10,4	6,3	-7	-7	4	✓	7900	✓	0,38	GI252	FA023	-
63A06R-S45HN09C-CF	63	74,7	40	22	18	10,4	6,3	-7	-7	6	✓	7000	✓	0,54	GI252	FA023	-
80A06R-S45HN09C-CF	80	91,7	50	27	38	12,4	7	-7	-7	6	✓	6200	✓	1,06	GI252	FA021	AC001
80A08R-S45HN09C-CF	80	91,7	50	27	38	12,4	7	-7	-7	8	✓	6200	✓	1,06	GI252	FA021	AC001
100A06R-S45HN09C-CF	100	111,7	50	32	45	14,4	8	-7	-7	6	✓	5600	✓	1,76	GI252	FA021	AC002
100A08R-S45HN09C-CF	100	111,7	50	32	45	14,4	8	-7	-7	8	✓	5600	✓	1,76	GI252	FA021	AC002
100A10R-S45HN09C-CF	100	111,7	50	32	45	14,4	8	-8	-7	10	-	5600	✓	1,76	GI252	FA021	AC002
125A06R-S45HN09C-CF	125	136,7	63	40	56	16,4	9	-7	-7	6	✓	5000	✓	3,36	GI252	FA021	AC003
125A08R-S45HN09C-CF	125	136,7	63	40	56	16,4	9	-7	-7	8	✓	4900	✓	3,72	GI252	FA021	AC003
125A10R-S45HN09C-CF	125	136,7	63	40	56	16,4	9	-7	-7	10	✓	5000	✓	3,36	GI252	FA021	AC003
125A12R-S45HN09C-CF	125	136,7	63	40	56	16,4	9	-8	-7	12	-	5000	✓	3,36	GI252	FA021	AC003
160C08R-S45HN09C-CF	160	171,7	63	40	66,7	16,4	9	-7	-7	8	✓	4400	✓	6,30	GI252	FA026	-
160C12R-S45HN09C-CF	160	171,7	63	40	66,7	16,4	9	-7	-7	12	✓	4400	✓	6,46	GI252	FA026	-
160C14R-S45HN09C-CF	160	171,7	63	40	66,7	16,4	9	-7	-7	14	✓	4400	✓	6,45	GI252	FA026	-
200C10R-S45HN09C-CF	200	211,7	63	60	101,6	25,7	14	-7	-7	10	✓	3900	✓	11,37	GI252	FA027	-
250C14R-S45HN09C-CF	250	261,7	63	60	101,6	25,7	14	-7	-7	14	✓	3500	✓	18,50	GI252	FA028	-
315C16R-S45HN09C-CF	315	326,7	80	60	101,6	25,7	14	-7	-7	16	✓	3100	✓	37,00	GI252	FA029	-

GI252	HNGX 0906AN..	XNGX 0906AN..

		Nm									
FA021	US 54511-T15P	5,0	M 4,5	11	D-T08P/T15P	FG-15	-	-	-	-	-
FA023	US 54511-T15P	5,0	M 4,5	11	D-T08P/T15P	FG-15	HS 1030C	-	-	-	-
FA026	US 54511-T15P	5,0	M 4,5	11	D-T08P/T15P	FG-15	HS 1240C	CAC 160C	HSD 0825C	HXK 5	-
FA027	US 54511-T15P	5,0	M 4,5	11	D-T08P/T15P	FG-15	HS 1655C	CAC 200C	HSD 1025C	HXK 7	-
FA028	US 54511-T15P	5,0	M 4,5	11	D-T08P/T15P	FG-15	HS 1655C	CAC 250C	HSD 1025C	HXK 7	-
FA029	US 54511-T15P	5,0	M 4,5	11	D-T08P/T15P	FG-15	HS 1655C	CAC 315C	HSD 1035C	HXK 7	CACP 315C RRH 34

AC001	KS 1230	K.FMH27
AC002	KS 1635	K.FMH32
AC003	KS 2040	K.FMH40

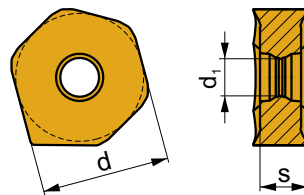
HNGX 09			
	d	d ₁	s
0906	16,500	4,90	6,35



		ISO		P	M	K	N	S	H			r _c	f _{min}	f _{max}	a _{p min}	a _{p max}		
 		HNGX 0906ANEN-FF	M9340	☑	■					●	---	-	0,05	0,20	0,5	5,0		
			M8330	■	☑	□	□				●	-	-	0,05	0,20	0,5	5,0	
			8215	■	☑	□	□				●	-	-	0,05	0,20	0,5	5,0	
			<i>panas</i>															
 		HNGX 0906ANSN-F	M9340	☑	■					●	---	-	0,10	0,20	0,5	5,0		
			M6330	☑	■						●	-	-	0,10	0,20	0,5	5,0	
			M8310	■	☑	□					●	-	-	0,10	0,20	0,5	5,0	
			M8330	■	☑	□	□				●	-	-	0,10	0,20	0,5	5,0	
			M8340	■	■	□					●	+/-	-	0,10	0,20	0,5	5,0	
			8215	■	☑	□	□				●	-	-	0,10	0,20	0,5	5,0	
 		HNGX 0906ANSN-M	M5315	☑	■			□		●	---	-	0,17	0,35	0,8	5,0		
			M9315	■	■	☑			□		●	---	-	0,17	0,35	0,8	5,0	
			M9325	■	☑						●	---	-	0,17	0,35	0,8	5,0	
			M9340	☑	☑						●	---	-	0,17	0,35	0,8	5,0	
			M6330	☑	☑						●	-	-	0,17	0,35	0,8	5,0	
			M8310	■	☑	■				□		●	-	-	0,17	0,35	0,8	5,0
			M8330	■	☑	■	□			□		●	-	-	0,17	0,35	0,8	5,0
			M8340	■	☑	☑						●	+/-	-	0,17	0,35	0,8	5,0
			8215	■	☑	■	□			□		●	-	-	0,17	0,35	0,8	5,0
			8230	■	☑	■	□			□		●	-	-	0,17	0,35	0,8	5,0
 		HNGX 0906ANSN-R	M5315	☑	■			☑		●	---	-	0,30	0,50	1,0	5,0		
			M9315	■	■	☑			☑		●	---	-	0,30	0,50	1,0	5,0	
			M9325	■	☑						●	---	-	0,30	0,50	1,0	5,0	
			M8310	■	☑	■				☑		●	-	-	0,30	0,50	1,0	5,0
			M8330	■	☑	■				☑		●	-	-	0,30	0,50	1,0	5,0
			M8340	■	☑	☑						●	+/-	-	0,30	0,50	1,0	5,0
			8215	■	☑	■				☑		●	-	-	0,30	0,50	1,0	5,0
			8230	■	☑	■				☑		●	-	-	0,30	0,50	1,0	5,0

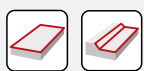
XNGX 09

	d	d ₁	s
0906	16,500	4,90	6,35



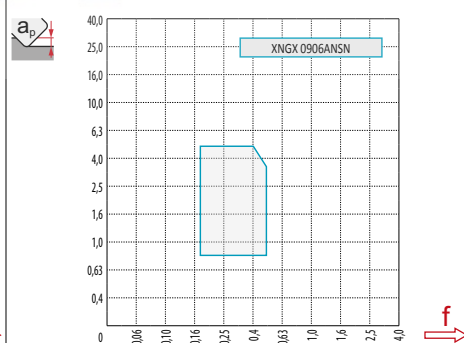
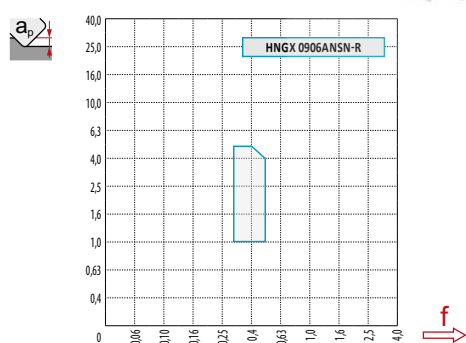
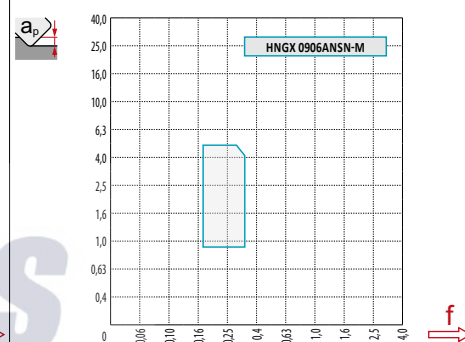
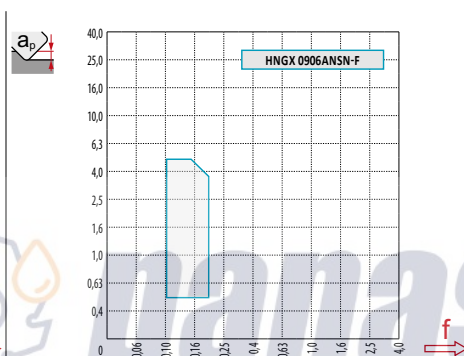
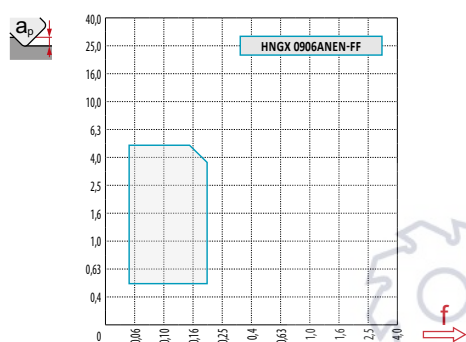
			P	M	K	N	S	H			r _e	f _{min}	f _{max}	a _{p min}	a _{p max}
	XNGX 0906ANSN	8215	■	▣	■				✘	-	-	0,17	0,50	0,8	5,0
		8230	■	▣	■				✘	-	-	0,17	0,50	0,8	5,0

ISO	f _{min}	f _{max}	M5315	M9315	M9325	M9340	M6330	M8310	M8340	8215	8230	8240	
P	●	0,10	0,40	500	500	443	397	339	420	362	397	380	322
	●	0,10	0,30	466	454	391	357	305	380	322	351	339	293
	✘	0,10	0,20	426	414	345	316	265	339	282	311	293	259
M	●	0,10	0,35	-	-	224	236	242	213	213	236	224	196
	●	0,10	0,25	-	-	201	213	213	190	190	213	201	173
	✘	0,10	0,15	-	-	173	190	184	173	167	184	178	155
K	●	0,10	0,40	477	477	-	-	-	397	345	374	362	311
	●	0,10	0,30	443	431	-	-	-	362	305	334	322	276
	✘	0,10	0,20	408	391	-	-	-	322	265	293	282	247
N	●	0,10	0,40	-	-	-	-	-	-	-	989	955	-
	●	0,10	0,30	-	-	-	-	-	-	-	886	851	-
	✘	0,10	0,20	-	-	-	-	-	-	-	782	742	-
H	●	0,10	0,25	98	98	-	-	-	81	-	75	75	-
	●	0,10	0,20	92	86	-	-	-	75	-	69	63	-
	✘	0,10	0,15	81	81	-	-	-	63	-	58	58	-




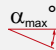

a_p / D	0,05	0,10	0,15	0,20	0,25	0,30	0,40	0,50	0,60	0,70	0,75	0,80	0,90	1,00
$X.V$	1,48	1,35	1,27	1,22	1,19	1,16	1,11	1,08	1,05	1,03	1,02	1,01	0,99	0,98
$X.f$	2,87	2,05	1,69	1,48	1,33	1,23	1,09	0,75	0,94	0,90	0,89	0,88	0,88	1,00
$X.f$	0,64	0,64	0,64	0,64	0,64	0,65	0,65	0,67	0,68	0,71	0,72	0,74	0,79	1,00

	HNGX 09-FF	HNGX 09-F	HNGX 09-M	HNGX 09-R	XNGX 09
r_ϵ	-	-	-	-	-
a_p	1,50	1,17	1,17	1,17	7,53




D	$X.V$	f_{max}
50	1,35	0,36
63	1,39	0,40
80	1,44	0,45
100	1,48	0,51
125	1,53	0,57
160	1,58	0,64
200	1,63	0,72
250	1,68	0,80
315	1,74	0,90



 D	 α_{max}°	 a_p/l
50	2,1	3,5/100
63	1,5	2,5/100
80	1,1	1,8/100
100	0,9	1,4/100
125	0,7	1,1/100
160	0,5	0,7/100



 a_p
1,9

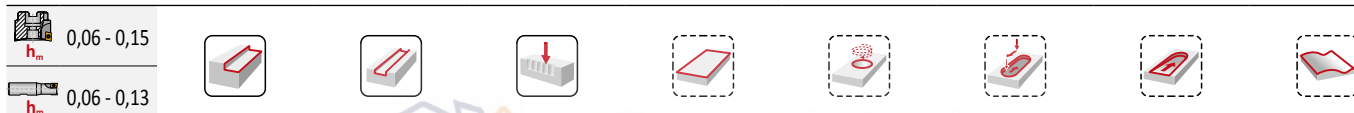
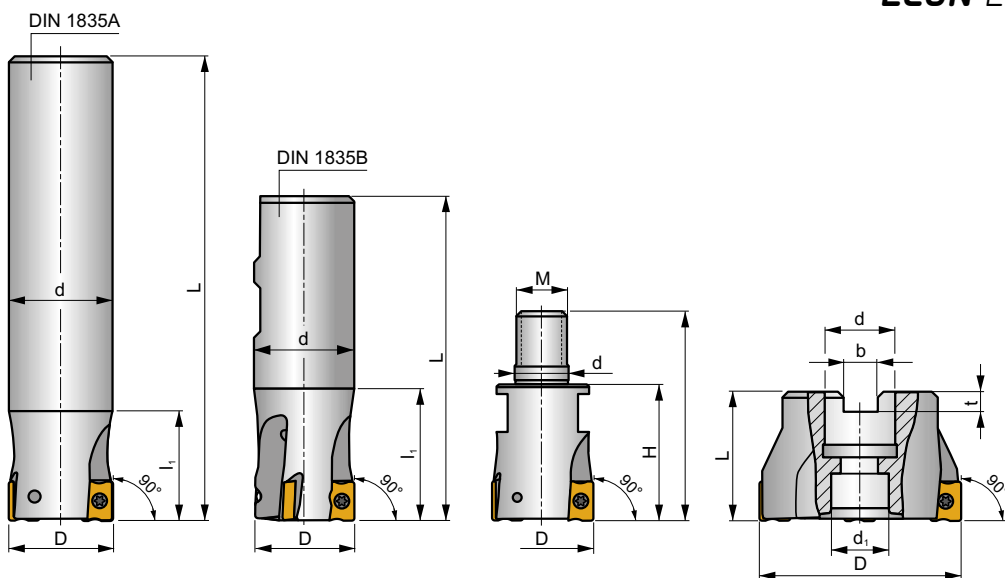
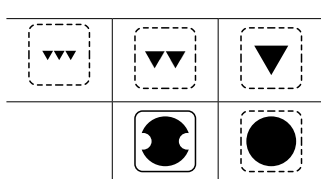
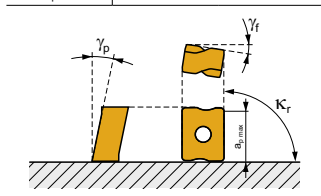


SLN12

P M K N S H



K_r	90°
a_{pmax}	9,0 mm



ISO	D	L	d	d ₁	l ₁	H	M	b	t	γ_f°	γ_p°	γ_{fi}	γ_{pi}	max.	kg	GI205	SQ340	AC001	AC002	AC003	
DIN 1835A	25A2R034A25-SLN12-C	25	170	25	-	34	-	-	-	-23	-8	2	-	19500	✓	0,58	GI205	SQ340	-	-	-
	25A2R080A25-SLN12-C	25	170	25	-	80	-	-	-	-23	-8	2	-	19500	✓	0,51	GI205	SQ340	-	-	-
	32A2R034A32-SLN12-C	32	195	32	-	34	-	-	-	-15	-6	2	-	17300	✓	1,05	GI205	SQ340	-	-	-
DIN 1835B	32A2R090A32-SLN12-C	32	195	32	-	90	-	-	-	-15	-6	2	-	17300	✓	0,98	GI205	SQ340	-	-	-
	25A2R042B25-SLN12-C	25	99	25	-	42	-	-	-	-23	-8	2	-	19500	✓	0,30	GI205	SQ340	-	-	-
	32A3R042B32-SLN12-C	32	103	32	-	42	-	-	-	-15	-6	3	-	17300	✓	0,50	GI205	SQ340	-	-	-
MODULAR	40A4R050B32-SLN12-C	40	111	32	-	50	-	-	-	-15	-6	4	✓	15500	✓	0,62	GI205	SQ340	-	-	-
	25A2R033M12-SLN12-C	25	55	12,5	-	-	33	-	-	-22	-6	2	-	-	✓	0,12	GI205	SQ340	-	-	-
	32A2R043M16-SLN12-C	32	66	17	-	-	43	-	-	-15	-6	2	-	-	✓	0,22	GI205	SQ340	-	-	-
ISO 642 DIN 9230	32A3R043M16-SLN12-C	32	66	17	-	-	43	-	-	-15	-6	3	-	-	✓	0,23	GI205	SQ340	-	-	-
	40A3R043M16-SLN12-C	40	66	17	-	-	43	-	-	-15	-6	3	-	-	✓	0,30	GI205	SQ340	-	-	-
	40A04R-S90LN12-C	40	40	16	14	-	-	8,4	5,6	-15	-6	4	✓	15500	✓	0,23	GI205	SQ342	-	-	-
	50A04R-S90LN12-C	50	40	22	18	-	-	10,4	6,3	-14,5	-6	4	✓	13800	✓	0,35	GI205	SQ343	-	-	-
	50A05R-S90LN12-C	50	40	22	18	-	-	10,4	6,3	-14,5	-6	5	✓	13800	✓	0,11	GI205	SQ343	-	-	-
	63A04R-S90LN12-C	63	40	22	18	-	-	10,4	6,3	-14	-6	4	✓	12300	✓	0,55	GI205	SQ343	-	-	-
	63A06R-S90LN12-C	63	40	22	18	-	-	10,4	6,3	-14	-6	6	✓	12300	✓	0,50	GI205	SQ343	-	-	-
	80A05R-S90LN12-C	80	50	27	38	-	-	12,4	7,0	-14	-6	5	✓	10900	✓	1,18	GI205	SQ341	AC001	-	-
	80A07R-S90LN12-C	80	50	27	38	-	-	12,4	7,0	-14	-6	7	✓	10900	✓	1,02	GI205	SQ341	AC001	-	-
	100A06R-S90LN12-C	100	50	32	45	-	-	14,4	8,0	-14	-6	6	✓	9800	✓	1,78	GI205	SQ341	AC002	-	-
	100A08R-S90LN12-C	100	50	32	45	-	-	14,4	8,0	-14	-6	8	✓	9800	✓	2,01	GI205	SQ341	AC002	-	-
	110A06R-S90LN12-C	110	50	32	45	-	-	14,4	8,0	-14	-6	6	✓	9300	✓	2,09	GI205	SQ341	AC002	-	-
125A07R-S90LN12-C	125	63	40	56	-	-	16,4	9,0	-14	-6	7	✓	8700	✓	3,44	GI205	SQ341	AC003	-	-	
125A09R-S90LN12-C	125	63	40	56	-	-	16,4	9,0	-14	-6	9	✓	8700	✓	3,38	GI205	SQ341	AC003	-	-	



GI205



LNGX 1205..



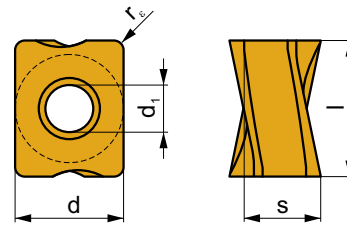
LNGU 1205..

SQ340	US 44012-T15P	3,5	M 4	12	-	-	Flag T15P	-
SQ341	US 44012-T15P	3,5	M 4	12	D-T08P/T15P	FG-15	-	-
SQ342	US 44012-T15P	3,5	M 4	12	D-T08P/T15P	FG-15	-	HS 0830C
SQ343	US 44012-T15P	3,5	M 4	12	D-T08P/T15P	FG-15	-	HS 1030C

AC001	KS 1230	K.FMH27
AC002	KS 1635	K.FMH32
AC003	KS 2040	K.FMH40

LNGX 12

	d	d ₁	l	s
1205	9,50	4,50	12,00	5,96



		ISO		P	M	K	N	S	H			r _c	f _{min}	f _{max}	a _{p min}	a _{p max}	
		LNGX 120504ER-F	M8340	■	■	■	□	□	□	●	+/-	0,4	0,04	0,15	0,2	9,0	
			8215	■	■	■	□	□	□	□	●	-	0,4	0,04	0,15	0,2	9,0
			8230	■	■	■	□	□	□	□	□	●	-	0,4	0,04	0,15	0,2
		LNGX 120508ER-F	M8310	■	■	■	□	□	□	●	-	0,8	0,04	0,15	0,2	9,0	
			M8340	■	■	■	□	□	□	□	●	+/-	0,8	0,04	0,15	0,2	9,0
			8215	■	■	■	□	□	□	□	□	●	-	0,8	0,04	0,15	0,2
		LNGX 120504ER-M	M8340	■	□	■	□	□	□	●	+/-	0,4	0,05	0,25	0,2	9,0	
			8230	■	□	■	□	□	□	□	●	-	0,4	0,05	0,25	0,2	9,0
			LNGX 120508ER-M	M9315	■	□	■	□	□	□	□	●	---	0,8	0,05	0,15	0,2
		LNGX 120508ER-M	M9325	■	□	■	□	□	□	●	---	0,8	0,05	0,15	0,2	9,0	
			M9340	■	□	■	□	□	□	□	●	---	0,8	0,05	0,15	0,2	9,0
			M8310	■	□	■	□	□	□	□	●	-	0,8	0,05	0,25	0,2	9,0
		LNGX 120510ER-M	M8340	■	□	■	□	□	□	●	+/-	0,8	0,05	0,25	0,2	9,0	
			8215	■	□	■	□	□	□	□	●	-	0,8	0,05	0,25	0,2	9,0
			8230	■	□	■	□	□	□	□	●	-	0,8	0,05	0,25	0,2	9,0
		LNGX 120512ER-M	M8340	■	□	■	□	□	□	●	+/-	1,2	0,05	0,25	0,2	9,0	
			8230	■	□	■	□	□	□	□	●	-	1,2	0,05	0,25	0,2	9,0
			LNGX 120516ER-M	M8340	■	□	■	□	□	□	●	+/-	1,6	0,05	0,25	0,2	9,0
		LNGX 120516ER-M	8230	■	□	■	□	□	□	●	-	1,6	0,05	0,25	0,2	9,0	
			LNGX 120520ER-M	M8310	■	□	■	□	□	□	●	-	2,0	0,05	0,25	0,2	9,0
			M8340	■	□	■	□	□	□	□	●	+/-	2,0	0,05	0,25	0,2	9,0
		LNGX 120520ER-M	8230	■	□	■	□	□	□	●	-	2,0	0,05	0,25	0,2	9,0	
			LNGX 120508SR-R	M5315	■	□	■	□	□	□	●	---	0,8	0,15	0,27	1,0	9,0
			M9315	■	□	■	□	□	□	□	●	---	0,8	0,15	0,27	1,0	9,0
		LNGX 120508SR-R	M9325	■	□	■	□	□	□	●	---	0,8	0,15	0,27	1,0	9,0	
			M9340	■	□	■	□	□	□	□	●	---	0,8	0,15	0,27	1,0	9,0
			M8310	■	□	■	□	□	□	□	●	-	0,8	0,15	0,35	1,0	9,0
		LNGX 120508SR-R	M8340	■	□	■	□	□	□	●	+/-	0,8	0,15	0,35	1,0	9,0	
			8215	■	□	■	□	□	□	□	●	-	0,8	0,15	0,35	1,0	9,0
			8230	■	□	■	□	□	□	□	●	-	0,8	0,15	0,35	1,0	9,0

i	ISO	Material	Material					Surface	Lubrication	r_c	f_{min}	f_{max}	$a_{p min}$	$a_{p max}$
			P	M	K	N	S							
 	LNGX 120516SR-R	M9325	■	□	□	□	□	●	---	1,6	0,15	0,27	1,0	9,0
		M8340	■	□	■	□	□	●	+/-	1,6	0,15	0,35	1,0	9,0
		8215	■	□	■	□	□	●	-	1,6	0,15	0,35	1,0	9,0
		8230	■	□	■	□	□	●	-	1,6	0,15	0,35	1,0	9,0
 	LNGX 120504ER-MF	M9340	■	■	□	■	□	●	---	0,4	0,04	0,13	0,3	9,0
		M6330	■	■	□	■	□	●	-	0,4	0,04	0,15	0,3	9,0
		M8340	■	■	□	■	□	●	+/-	0,4	0,04	0,15	0,3	9,0
 	LNGX 120508ER-MF	M9340	■	■	□	■	□	●	---	0,8	0,04	0,13	0,3	9,0
		M6330	■	■	□	■	□	●	-	0,8	0,04	0,15	0,3	9,0
		M8340	■	■	□	■	□	●	+/-	0,8	0,04	0,15	0,3	9,0
 	LNGX 120508SR-MM	M9340	■	■	□	■	□	●	---	0,8	0,08	0,17	0,3	9,0
		M6330	■	■	□	■	□	●	-	0,8	0,08	0,20	0,3	9,0
		M8340	■	■	□	■	□	●	+/-	0,8	0,08	0,20	0,3	9,0
		M8345	■	■	□	■	□	●	+/-	0,8	0,08	0,20	0,3	9,0

LNGU 12

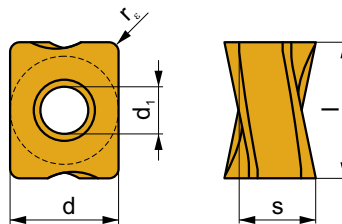
	d	d ₁	l	s
1205	9,500	4,50	12,00	5,96



i	ISO	Material	Material					Surface	Lubrication	r_c	f_{min}	f_{max}	$a_{p min}$	$a_{p max}$
			P	M	K	N	S							
 	LNGU 120525ER-M	M8340	■	□	■	□	□	●	+/-	2,5	0,05	0,25	0,2	9,0
		8230	■	□	■	□	□	●	-	2,5	0,05	0,25	0,2	9,0
 	LNGU 120530ER-M	M8340	■	□	■	□	□	●	+/-	3,0	0,05	0,25	0,2	9,0
		8230	■	□	■	□	□	●	-	3,0	0,05	0,25	0,2	9,0

LNGX 12-FA

	d	d ₁	l	s
1205	9,500	4,50	12,00	5,96



		ISO		P	M	K	N	S	H			r _ε	f _{min}	f _{max}	a _{p min}	a _{p max}
		LNGX 120504FR-FA	HF7	<input type="checkbox"/>	<input type="checkbox"/>	<input checked="" type="checkbox"/>	<input type="checkbox"/>	<input type="checkbox"/>	<input type="checkbox"/>		+/-	0,4	0,03	0,35	0,2	9,0
		LNGX 120508FR-FA	M0315	<input type="checkbox"/>	<input type="checkbox"/>	<input checked="" type="checkbox"/>	<input type="checkbox"/>	<input type="checkbox"/>	<input type="checkbox"/>		++	0,8	0,03	0,35	0,2	9,0
			HF7	<input type="checkbox"/>	<input type="checkbox"/>	<input checked="" type="checkbox"/>	<input type="checkbox"/>	<input type="checkbox"/>	<input type="checkbox"/>		+/-	0,8	0,03	0,35	0,2	9,0

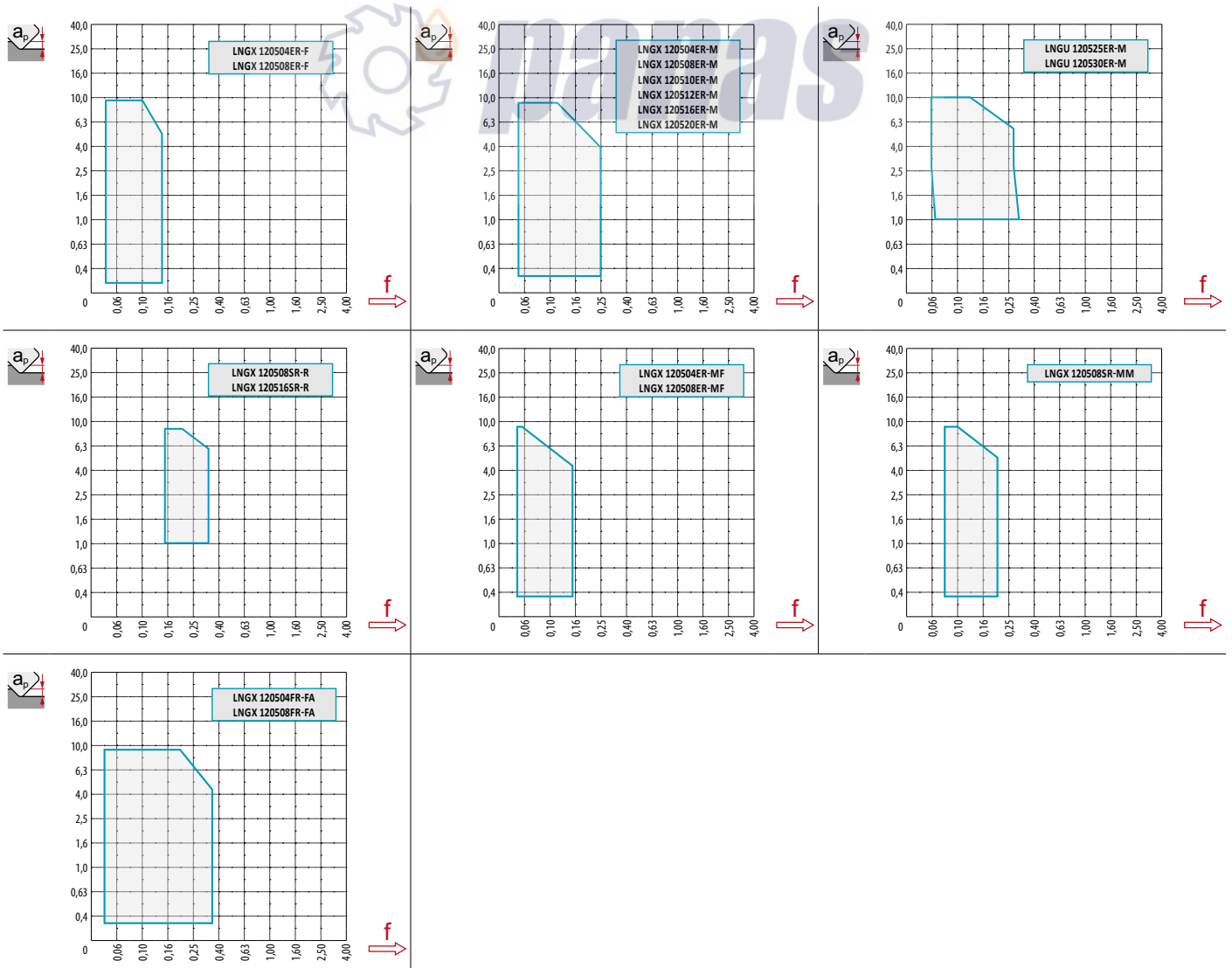
ISO	f _{min}	f _{max}	M5315	M9315	M9325	M9340	M0315	M6330	M8310	M8340	M8345	8215	8230	8240	HF7	
P		0,05	0,20	326	326	289	259	-	221	274	236	188	259	248	210	-
		0,05	0,15	304	296	255	233	-	199	248	210	165	229	221	191	-
		0,05	0,10	278	270	225	206	-	173	221	184	146	203	191	169	-
M		0,05	0,20	-	-	146	154	-	158	139	139	113	154	146	128	60
		0,05	0,15	-	-	131	139	-	139	124	124	98	139	131	113	53
		0,05	0,10	-	-	113	124	-	120	113	109	86	120	116	101	45
K		0,05	0,20	311	311	-	-	-	-	259	225	-	244	236	203	98
		0,05	0,15	289	281	-	-	-	-	236	199	-	218	210	180	86
		0,05	0,10	266	255	-	-	-	-	210	173	-	191	184	161	75
N		0,05	0,20	-	-	-	-	570	-	-	-	-	645	623	-	255
		0,05	0,15	-	-	-	-	510	-	-	-	-	578	555	-	229
		0,05	0,10	-	-	-	-	446	-	-	-	-	510	484	-	199
S		0,05	0,20	-	-	71	75	-	79	68	68	56	75	71	64	30
		0,05	0,15	-	-	64	68	-	68	60	60	49	68	64	56	26
		0,05	0,10	-	-	56	60	-	60	56	53	41	60	56	49	23
H		0,05	0,20	64	64	-	-	-	-	53	-	-	49	49	-	19
		0,05	0,15	60	56	-	-	-	-	49	-	-	45	41	-	15
		0,05	0,10	53	53	-	-	-	-	41	-	-	38	38	-	15



a_e/D	0,05	0,10	0,15	0,20	0,25	0,30	0,40	0,50	0,60	0,70	0,75	0,80	0,90	1,00
$X.v$	1,48	1,35	1,27	1,22	1,19	1,16	1,11	1,08	1,05	1,03	1,00	1,00	1,00	1,00
$X.f$	2,87	2,05	1,69	1,48	1,33	1,23	1,09	0,75	0,94	0,90	0,89	0,88	0,88	1,00
$X.f$	0,64	0,64	0,64	0,64	0,64	0,65	0,65	0,67	0,68	0,71	0,72	0,74	0,79	1,00

	LNGX 12-F		LNGX 12-M						LNGU 12-M	
r_ϵ	0,4	0,8	0,4	0,8	1,0	1,2	1,6	2,0	2,5	3,0
a	2,29	1,89	2,29	1,89	1,69	1,49	1,09	0,68	0,87	0,36

	LNGX 12-R		LNGX 12-MF		LNGX 12-MM	LNGX 12-FA	
r_ϵ	0,8	1,6	0,4	0,8	0,8	0,4	0,8
a	1,88	1,08	2,28	1,88	1,88	2,30	1,89





7,6



1,0

5,0

9,0



0,19

0,13

0,08



LNGX 12

	α_{\max} °	a_p/l
25	1,3	2,1/100
32	0,7	1,1/100
40	0,5	0,7/100
50	0,4	0,5/100
63	0,2	0,3/100
80	0,2	0,2/100



LNGX 12

	d_{\min}	d_{\max}		
25	35,0	50,0	0,7	1,7
32	49,0	64,0	0,6	1,2
40	65,0	80,0	0,6	1,0
50	85,0	100,0	0,7	1,0
63	111,0	126,0	0,6	0,8
80	145,0	160,0	0,7	0,8



0,2



D	μm	3	5	10	15	20	30	40	50	60	80	100
25		0,548	0,707	1,000	1,225	1,414	1,732	2,000	2,236	2,449	2,828	3,162
32		0,620	0,800	1,131	1,386	1,600	1,960	2,263	2,530	2,771	3,200	3,578
40		0,693	0,894	1,265	1,549	1,789	2,191	2,530	2,828	3,098	3,578	4,000
50		0,775	1,000	1,414	1,732	2,000	2,449	2,828	3,162	3,464	4,000	4,472
63		0,869	1,122	1,587	1,944	2,245	2,750	3,175	3,550	3,888	4,490	5,020
80		0,980	1,265	1,789	2,191	2,530	3,098	3,578	4,000	4,382	5,060	5,657

r_ϵ	μm	3	5	10	15	20	30	40	50	60	80	100
1,6		0,196	0,253	0,358	0,438	0,506	0,620	0,716	0,800	0,876	1,012	1,131
2,0		0,219	0,283	0,400	0,490	0,566	0,693	0,800	0,894	0,980	1,131	1,265
2,5		0,245	0,316	0,447	0,548	0,632	0,775	0,894	1,000	1,095	1,265	1,414
3,0		0,268	0,346	0,490	0,600	0,693	0,849	0,980	1,095	1,200	1,386	1,549



www.panas.sk, info@panas.sk, Tel.: 038/749 67 64 -5

